

ISSN 0389-4010  
UDC 629.7.014.16  
533.6.013

# 航空宇宙技術研究所報告

TECHNICAL REPORT OF NATIONAL AEROSPACE LABORATORY

TR-1129

## STOL全機模型バフェット対策風洞試験

高橋 伸・中谷 輝臣・林 良生  
萱場 重男・野口 正芳・野中 修  
外立 正隆・星野 秀雄・馬場 滋夫  
井上 隆

1991年11月

航空宇宙技術研究所  
NATIONAL AEROSPACE LABORATORY

## 目 次

1. まえがき .....	2
2. 記 号 .....	2
3. 模型形状及び支持方法 .....	3
3. 1 全機模型 .....	3
3. 2 バフェット対策用模型 .....	5
3. 3 支持方法 .....	5
4. 計測及びデータ処理 .....	5
4. 1 計 測 .....	5
4. 2 データ処理 .....	9
5. 試験概要 .....	10
5. 1 バフェット対策予備試験 .....	10
5. 2 力試験予備試験 .....	10
5. 3 力試験本試験 .....	13
6. 試験結果 .....	13
6. 1 バフェット対策予備試験（二次元模型） .....	13
6. 2 バフェット対策予備試験（全機模型） .....	16
6. 3 力 試 験 .....	26
6. 4 飛行試験 .....	34
7. むすび .....	36
参考文献 .....	37

# STOL全機模型バフェット対策風洞試験\*

高橋 伸<sup>\*1</sup> 中谷 輝臣<sup>\*2</sup> 林 良生<sup>\*2</sup>  
萱場 重男<sup>\*2</sup> 野口 正芳<sup>\*2</sup> 野中 修<sup>\*2</sup>  
外立正隆<sup>\*2</sup> 星野秀雄<sup>\*2</sup> 馬場滋夫<sup>\*2</sup>  
井上 隆<sup>\*3</sup>

## A Wind Tunnel Investigation to Determine Buffet Countermeasures for STOL Aircraft $\alpha$ -Sweep Flight Testing\*

Hitoshi TAKAHASHI<sup>\*1</sup>, Teruomi NAKAYA<sup>\*2</sup>,  
Yoshio HAYASHI<sup>\*2</sup>, Shigeo KAYABA<sup>\*2</sup>, Masayoshi NOGUCHI<sup>\*2</sup>,  
Isamu NONAKA<sup>\*2</sup>, Masataka HASHIDATE<sup>\*2</sup>, Hideo HOSHINO<sup>\*2</sup>,  
Shigeru BABA<sup>\*2</sup> and Takashi INOUE<sup>\*3</sup>

### ABSTRACT

During  $\alpha$ -sweep flight testing of the short take-off and landing (STOL) experimental aircraft "ASKA", a buffet occurred earlier than expected, as well as large airframe vibrations, both of which contributed to preventing the high angle of attack portion of  $\alpha$ -sweep testing from being conducted.

Wind tunnel tests were subsequently performed in order to delay the onset of the wind buffet that prevented the performance of this flight test, and also to determine effective aerodynamic means to alleviate the buffet's strength.

Results confirmed that both triangular fences fitted to the side of the nacelle and a drooped nose on the leading edge between the nacelles were most effective.

These buffet countermeasures were then applied on "ASKA" and flight tests were conducted. It was found that the onset of a buffet was delayed and the vibration frequency of the airframe was reduced. This allowed the  $\alpha$ -sweep testing to be safely carried out at higher angles of attack; hence enabling the initial objective to be achieved.

**Keywords:** STOL aircraft, wind tunnel tests, flight test, nacelle,  $\alpha$ -sweep testing

### 概要

STOL実験機「飛鳥」の飛行試験  $\alpha$ スイープ試験実施中、予想よりも早すぎるバフェットの発生とそれに伴う大きな振動が生じ、より大きな迎角まで  $\alpha$ スイープ試験を行うことが出来なくなった。このため、試験遂行の妨げとなっているバフェットの発生を遅らせ、更にバ

\* 平成3年9月19日受付 (received 19 September 1991)

\*1 新型航空機研究グループ (Advanced Aircraft Research Group)

\*2 空力性能部 (Aircraft Aerodynamics Division)

\*3 川崎重工業株式会社 (Kawasaki Heavy Industries, LTD.)

フェットの程度を和らげるのに有効な空力的手段を見いだすことを目的に風洞試験を実施した。

その結果、バフェット対策としてナセル側面に三角形のフェンスを、またナセル間前縁にドループ・ノーズを取り付けることが最も有効であることを確認した。

更に、これら対策を実機に適用し、飛行試験を実施した結果、バフェットの始まりが遅れ、振動の頻度が減少し、より高い迎角までの $\alpha$ スイープ試験が安全に遂行出来るようになり、当初の目的を達成する事が出来た。

## 1. まえがき

航空宇宙技術研究所で研究開発された低騒音STOL実験機「飛鳥」の飛行試験において、 $\alpha$ スイープ試験を実施中予想よりも早すぎるバフェットの発生とそれに伴う大きな振動を生じ、より大きな迎角まで試験を行うことが出来なくなった。このため、安全に大きな迎角まで $\alpha$ スイープ試験を実施できるようになんらかの対策を早急に立てる必要を生じた。

飛行試験中に実機に張りつけた気流糸の損傷状況からバフェットの原因となる乱れの発生箇所として以下に示す箇所が推測された。

- (1) ナセル間主翼前縁
- (2) ナセル一胴体間主翼前縁
- (3) 中央翼後方

上記箇所から剥離した渦流が後胴及び尾翼に当たり早期バフェット、機体の振動を引き起こしているものと思われる。

そこで、まずナセル間流れの状況把握と流れの改善対策検討のために、ナセル間前縁部の二次元模型を用いて、気流糸及び煙による可視化実験を実施した。その結果、ナセル側面から主翼前縁にかかる形で三角形のフェンスを取り付けると有効であることが判明した。これらの結果を基に、8%STOL低速全機模型でバフェットに対する諸対策を講じて風洞試験を実施し、最も有効な対策を求めた。更に、これらの結果を基に、実機に適用可能な対策について技術検討を行い、これらを基にフェンス及び前縁ドループ・ノーズを設計、製作し実機に取り付け、飛行試験を実施した。

本報告では、バフェットの原因探索、バフェット対策及びナセル間流れ改善を図るために実施し

た風洞試験の経過について、更に、最終的に決定された対策を実機に適用して飛行試験を行った結果について述べる。

## 2. 記 号

$C_L$	: 揚力係数 $L/(q_\infty S)$
$C_D$	: 抗力係数 $D/(q_\infty S)$
$C_Y$	: 横力係数 $Y/(q_\infty S)$
$C_I$	: 横揺れモーメント係数 $R/(q_\infty bS)$
$C_m$	: 縦揺れモーメント係数 $M/(q_\infty \bar{c}S)$
$C_n$	: 偏揺れモーメント係数 $N/(q_\infty bS)$
$C_J$	: エンジン推力係数 $T_0/(q_\infty S)$
$C_{JAL}$	: エルロンBLC推力係数 $T_{AL}/(q_\infty S)$
$C_{JOL}$	: 前縁外舷BLC推力係数 $T_{OL}/(q_\infty S)$
$L$	: 揚力
$D$	: 抗力
$Y$	: 横力
$R$	: 横揺れモーメント
$M$	: 縦揺れモーメント
$N$	: 偏揺れモーメント
$T_0$	: エンジン静止推力
$T_{AL}$	: エルロンBLC静止推力
$T_{OL}$	: 前縁外舷BLC静止推力
$P_{ROL}$	: 右前縁BLCチャンバー圧
$P_{LOL}$	: 左前縁BLCチャンバー圧
$P_{RAI}$	: 右エルロンBLCチャンバー圧
$P_{LA1}$	: 左エルロンBLCチャンバー圧
$Gyb$	: 実機IRS位置での左右方向加速度
$Gzb$	: 実機IRS位置での上下方向加速度
$NyCG$	: 実機重心位置での左右方向加速度
$NzCG$	: 実機重心位置での上下方向加速度
$S$	: 主翼面積
$\bar{c}$	: 平均空力翼弦長

b : 翼幅  
 $\delta_{fu}$  : USB フラップ角  
 $\delta_{fo}$  : 外舷フラップ角  
 $\delta_{sl}$  : 前縁スラット角  
 ALPHA : 迎角  
 $\alpha$  : 迎角  
 BETA : 横滑り角  
 $\beta$  : 横滑り角  
 $V_\infty$  : 一様流速度  
 Re : レイノルズ数  
 N : エンジン回転数

#### 略語

BLC : Boundary Layer Control  
 MAC : Mean Aerodynamic Chord  
 V.G : Vortex Generator  
 AEO : All Engine Operative  
 OEI : One Engine Inoperative  
 USB : Upper Surface Blowing  
 IRS : Inertial Reference System

T/O : 離陸形態  
 L/D : 着陸形態

### 3. 模型形状及び支持方法

#### 3.1 全機模型

本風洞試験で使用されている模型はSTOL実験機の8%全機模型である(図1)。エンジン・ナセルが実機よりも長くまたインテークの位置が前方に出ているところを除いてすべて実機並になっている。

本模型は動力付き模型で高圧空気でエアー・タービンを駆動し、それに連結されているファンによって高速の空気流をつくる、いわゆるファン・ジェット・エンジン・シミュレータを主翼上面に4基搭載している。

従来はエンジンのベアリングに潤滑油を約1時間毎に供給しないと、ベアリングが焼け付いてしまうので、風洞を約1時間毎に停止し、ベアリングに潤滑油を手動で供給していた。そこで、試験効率をあげるために、本風試から潤滑油を自動的

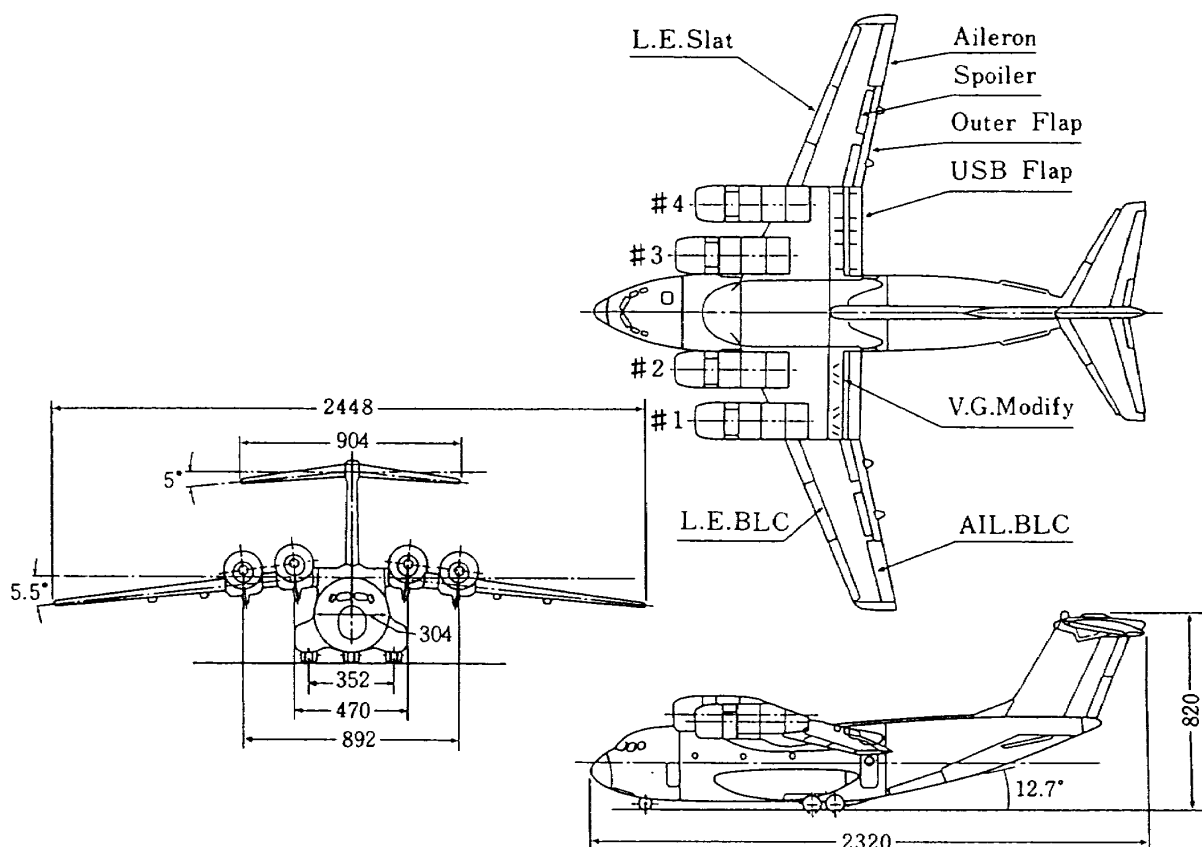


図1 模型形状(単位mm)

に供給できるように模型の改修を行った(図 2)。

また、後述するように天秤への配管干渉を避けるために開発された配管干渉除去装置<sup>1,2)</sup>を装着して試験を実施するようになり、従来のエンジン回転数制御が出来なくなつたため、やはり、エンジン回転数を自動的に制御出来るように模型の改修

を行つた。図 3 にエンジン回転数自動制御用エンジン・コントロール・バルブ駆動装置を示す。尚、これらの詳細については別途報告がなされるであろう。

更に、予備試験では模型の各部に生ずる振動を計測するために、主翼左右翼端、水平尾翼左右翼

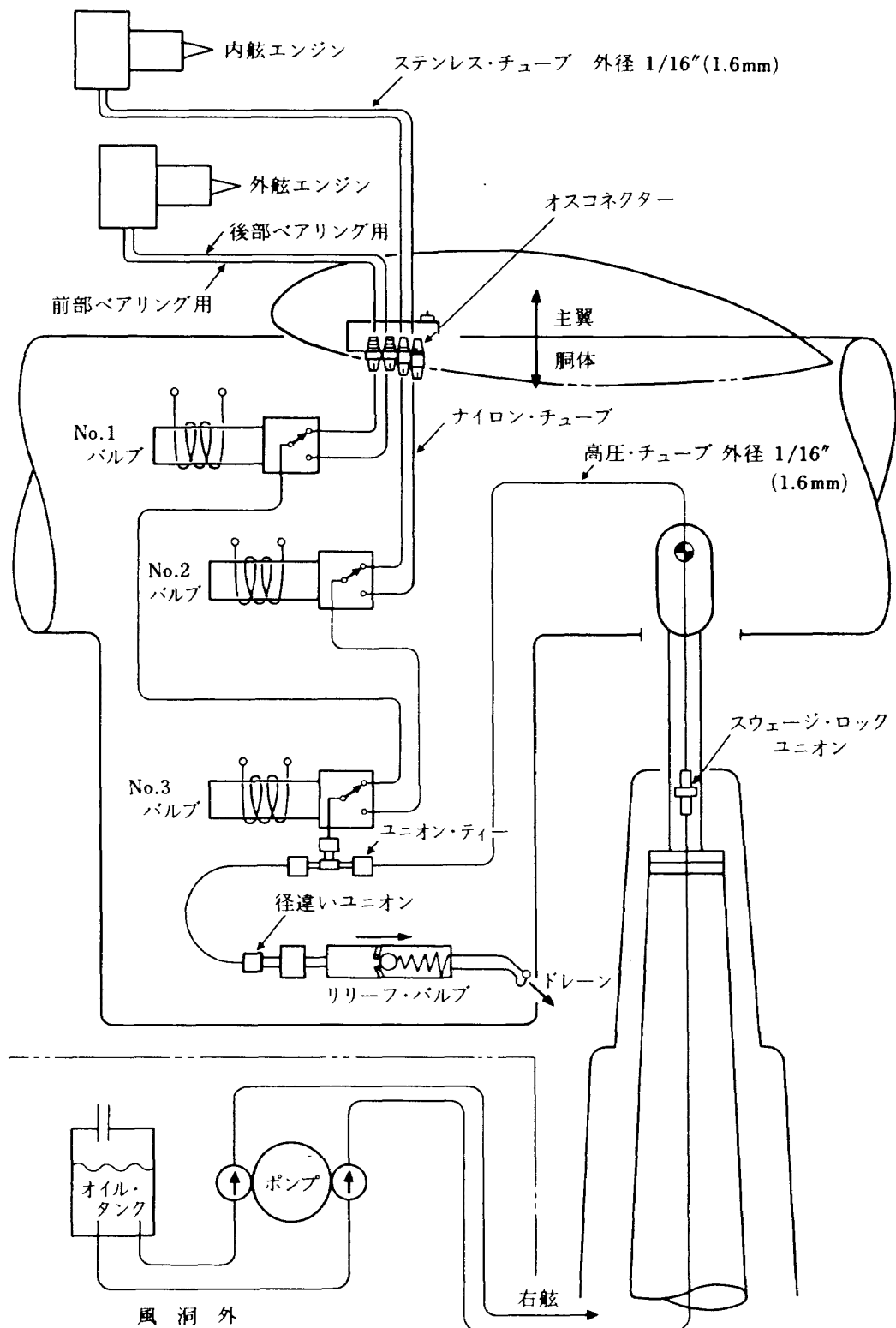


図 2 エンジンオイル自動供給システム

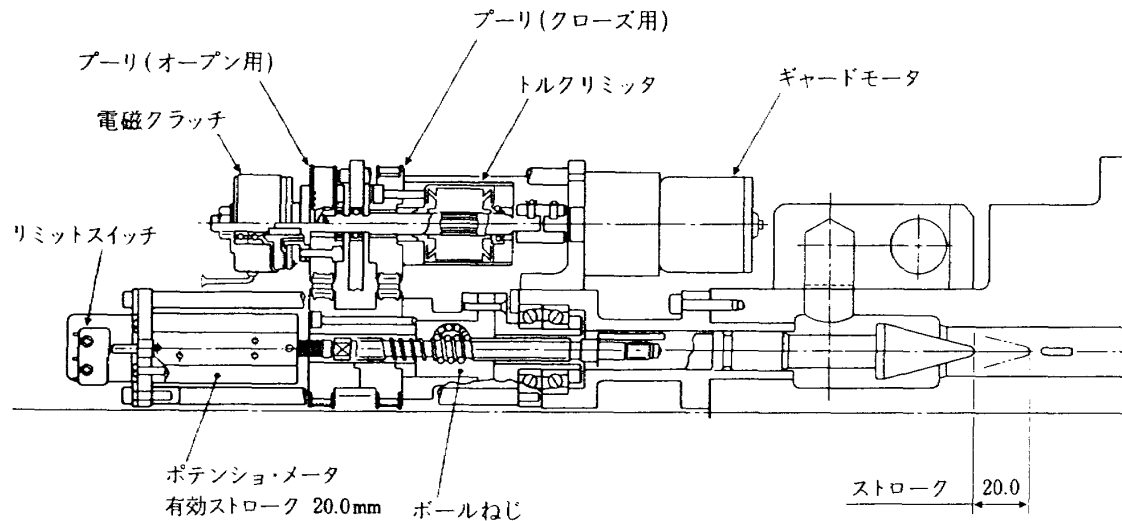


図3 エンジン・コントロール・バルブ駆動装置

端及び垂直尾翼左上部には加速度検出器を取り付けた。

### 3.2 バフェット対策用模型

飛行試験中早すぎるバフェットの原因究明とその対策を探求するために本風洞試験が実施された。試験は原因究明と対策のための予備試験とその結果得られた最適な形態での力試験に分かれているが、ここでは、バフェット対策用に用いられた模型について述べる。

図4は実機に張りつけた気流糸の損傷が最も著しい、ナセル間主翼前縁部の流れ改善策の検討のため製作した煙風洞用二次元模型で、縮尺比は実機の18分の1である。図5右下にバフェット対策用模型として用いられた小フェンス、背面フェンス、ドループ・ノーズ等を示す。これらの模型を同図左に示すように8%全機模型に取り付けて、当所大型低速風洞にてバフェット対策予備試験を実施した。図6に予備試験で得られた対策の最終形態に対する力試験用に用いられたナセル間前縁ドループ・ノーズとナセル・フェンスの模型を示す。

### 3.3 支持方法

模型は前後2本の支柱で支持されている。前部支柱は模型の支持及び高圧空気の導入管として使用し、後部支柱は迎角変角用支柱である。本風試において、後部支柱は大迎角用支柱を使用している（図7）。変角範囲は $-10^\circ \sim 48^\circ$ である。模型の横滑りはターンテーブルを回転させることにより

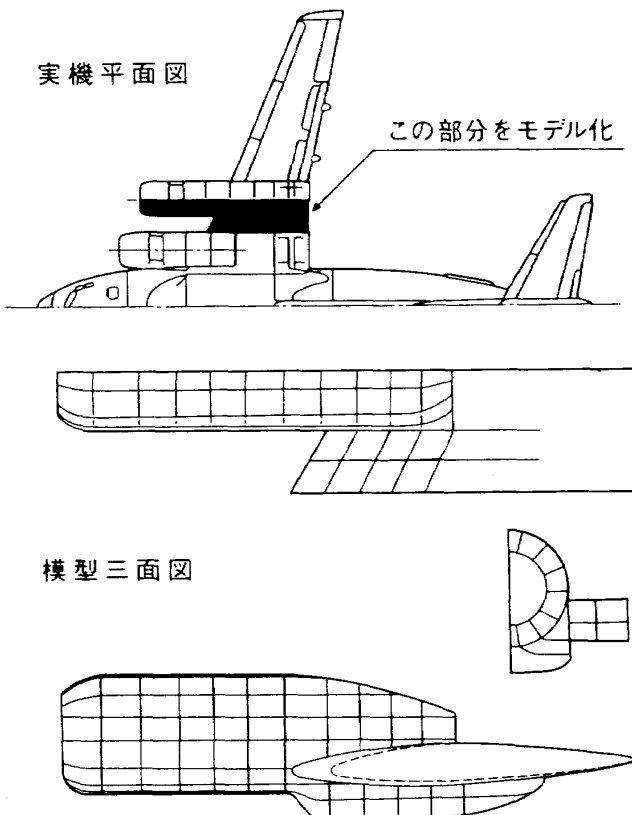


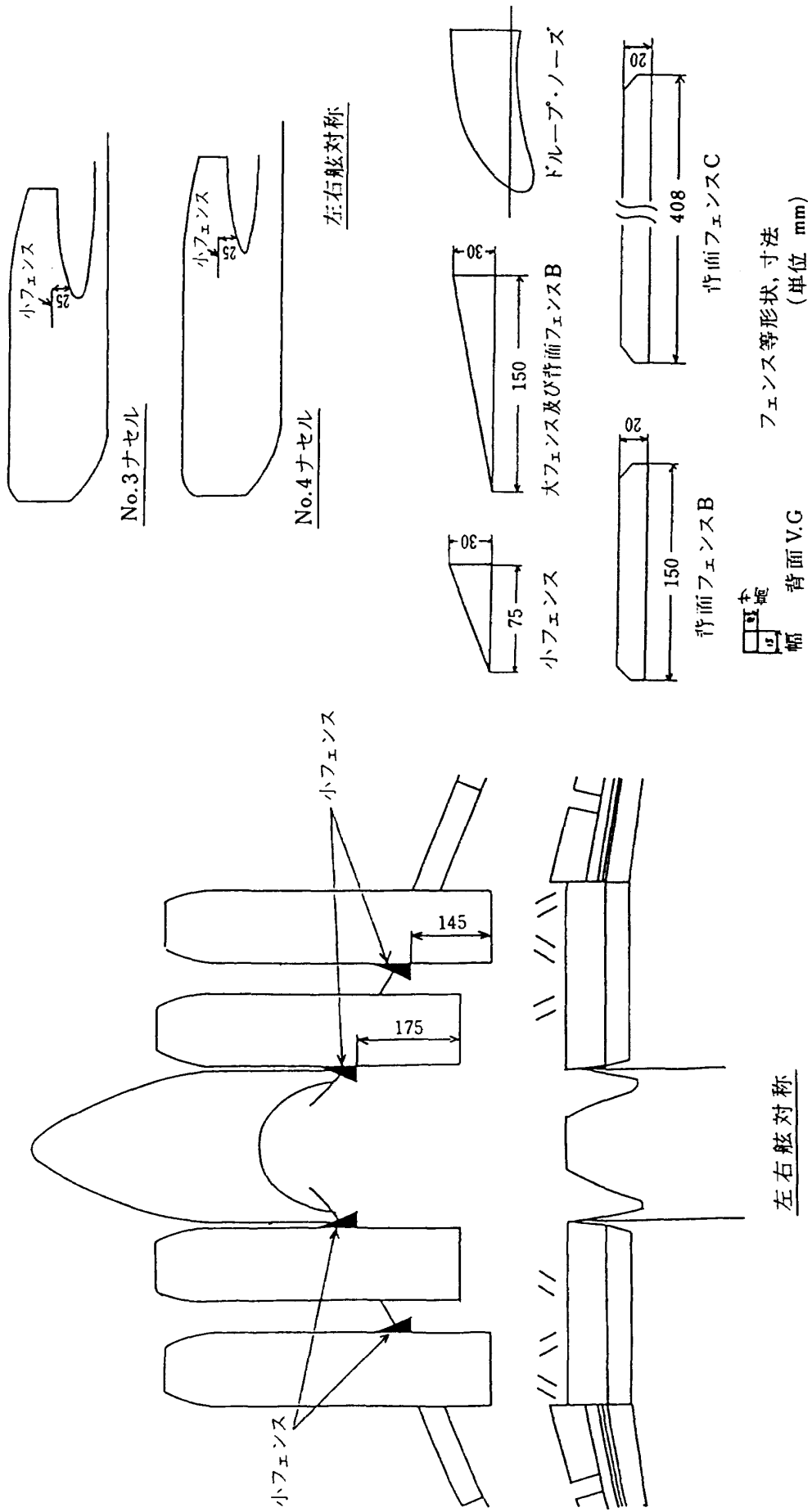
図4 煙風洞試験用模型（二次元模型）

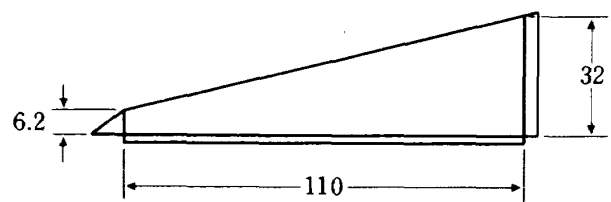
変角でき、本試験での変角範囲は $-30^\circ \sim 30^\circ$ である。この支持装置は配管干渉除去装置を経てピラミッド型6分力天秤に結合されている（図8）。

## 4. 計測及びデータ処理

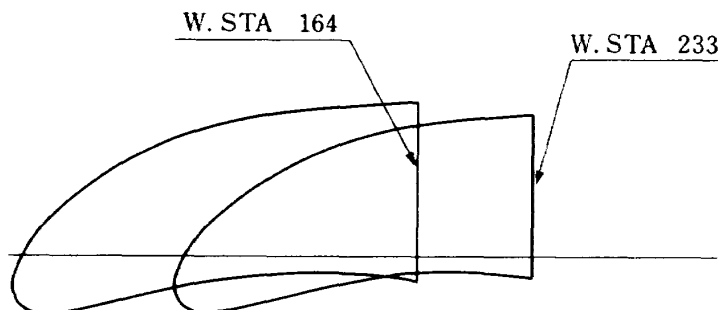
### 4.1 計測

計測項目及び計測法の概略を図9に示す。力とモーメントは6分力ピラミッド型天秤で計測し、





(a) ナセル・フェンス寸度 (単位 mm)



(b) ナセル間前縁ドループ・ノーズ線図

図 6 バフェット風試用模型 (6 分力試験)

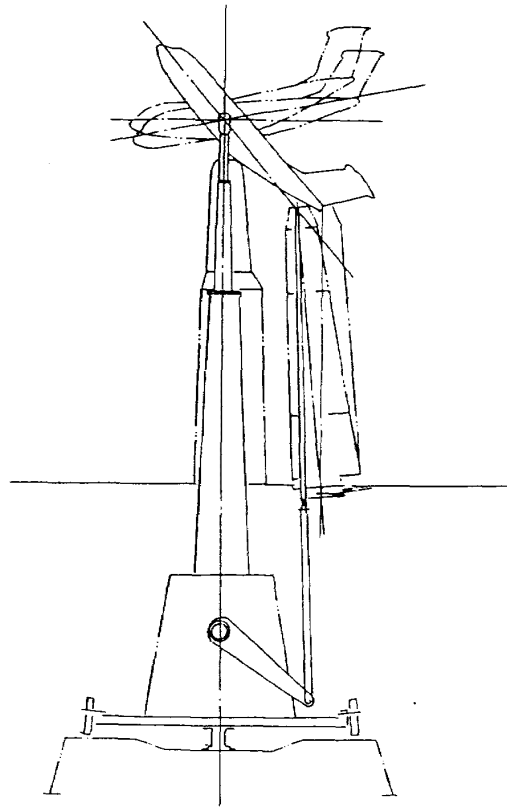


図 7 支持方法

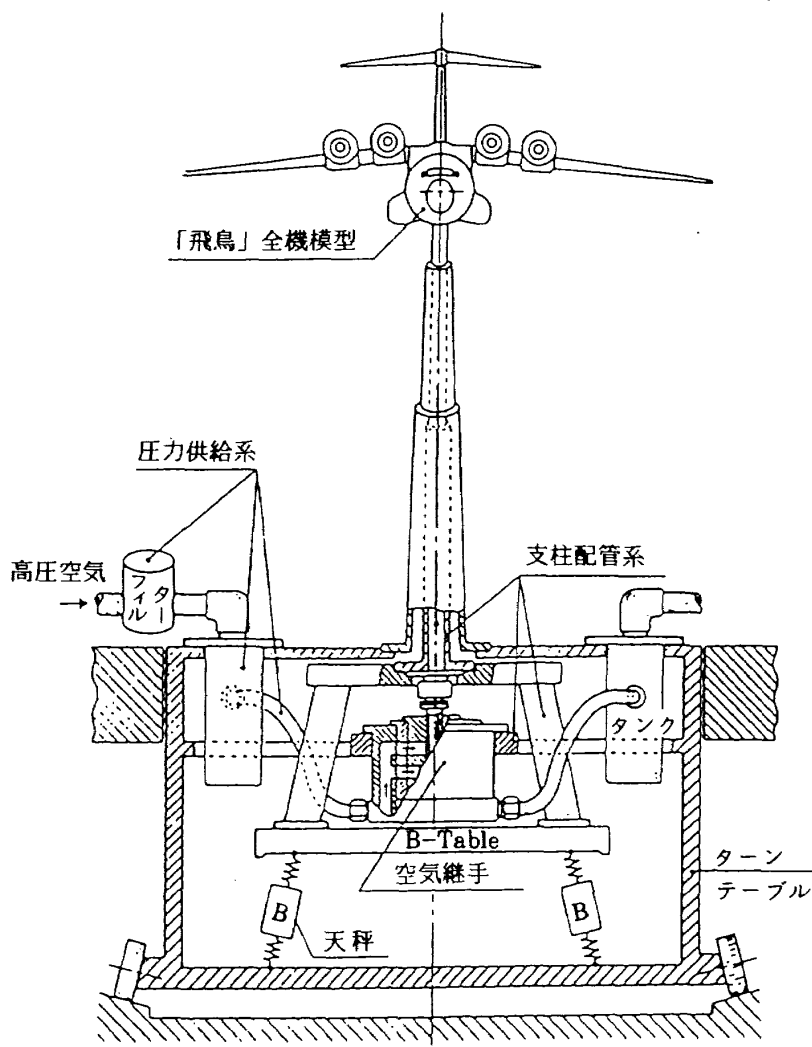


図 8 配管干渉除去装置の概略図

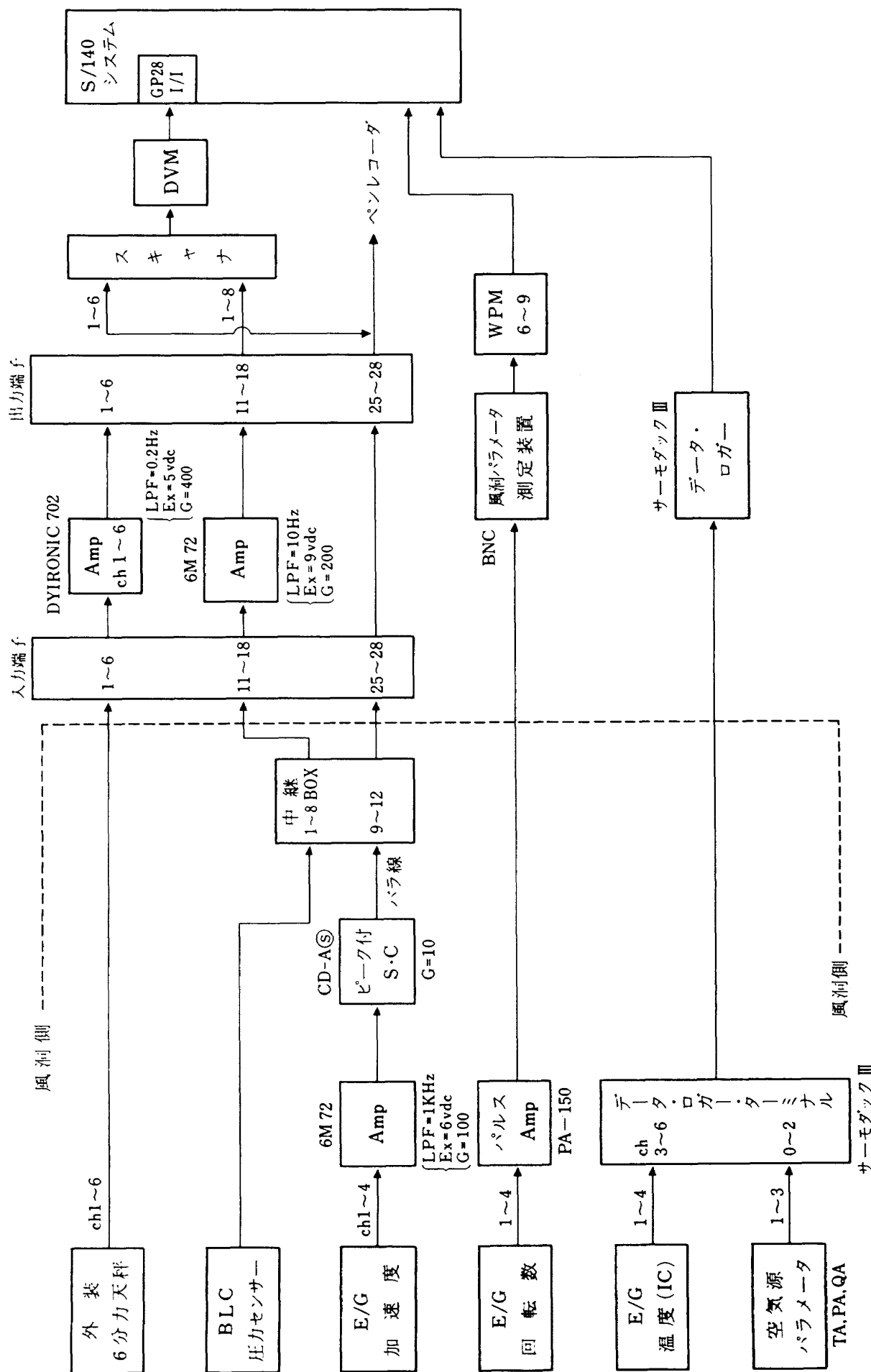


図 9 計測系統

各エンジン・シミュレータの回転数、ペアリング温度及び振動はデータとして収録するとともに、ペンレコーダにて監視した。更にエンジン駆動用、前縁及び補助翼 BLC 用高圧空気圧力も計測した。風洞用パラメータとして標準ピトー管による動圧・静圧及び風洞内温度を計った。

#### 4.2 データ処理

得られた風試データは以下に述べる方法に従って処理した。図10に本試験での座標軸を示す。

尚、これらデータ処理に関しては文献 3,4 に詳細に述べられているのでここでは簡単に概要を述べる。

#### (1) データ処理基準値

主翼面積  $S = 0.7712 \text{ m}^2$

平均空力翼弦長  $\bar{c} = 0.3547 \text{ m}$

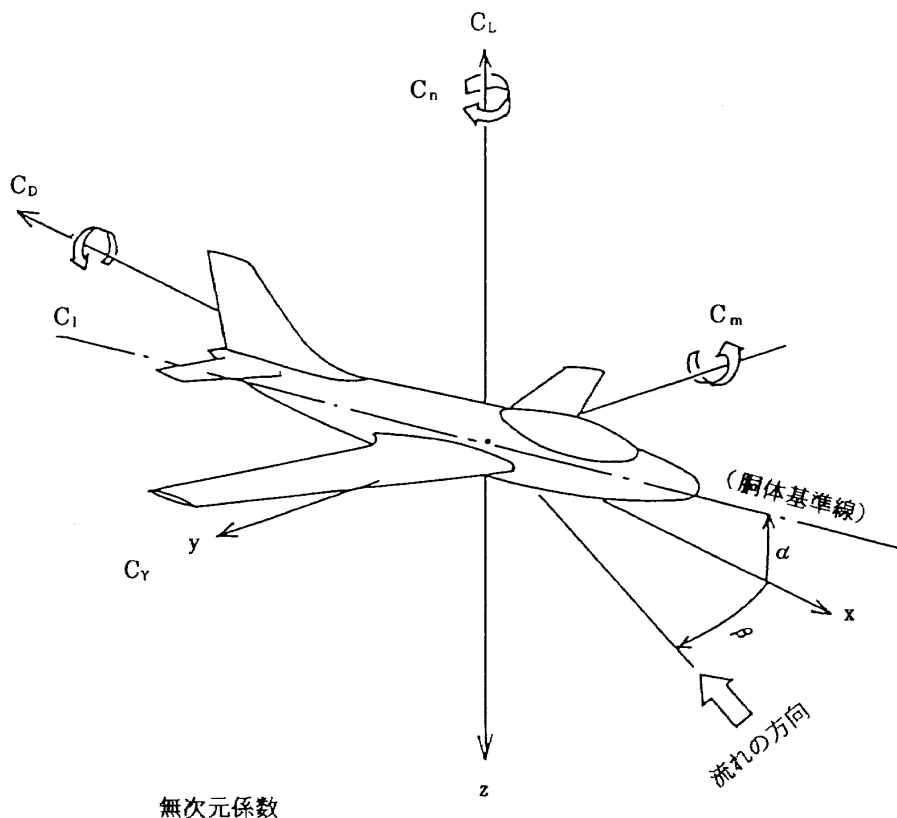
翼幅  $b = 2.4480 \text{ m}$

モーメント基準値: 25%MAC, WP=0 (天秤中心に対し 16.2 mm 前方 25.0 mm 下方)

#### (2) データ処理方法

天秤で得られた空気力、モーメントに Static Tare の修正、天秤相互干渉補正後に、1 次処理としてストラット補正を行い、モーメント基準点まわりの 6 分力係数を算出した。更に、2 次処理と

座標軸説明図  
(安定軸基準)



記号	名称	定義	正方向
$C_L$	揚力係数	$L/q_\infty S$	$-z$
$C_D$	抗力係数	$D/q_\infty S$	$-x$
$C_m$	縦搖モーメント係数	$M/q_\infty S\bar{c}$	$y$
$C_l$	横搖モーメント係数	$R/q_\infty Sb$	$x$
$C_n$	偏搖モーメント係数	$N/q_\infty Sb$	$z$
$C_Y$	横力係数	$Y/q_\infty S$	$y$

図 10 座標軸

して、風洞壁補正、モーメンタム・ドラッグ補正(実機FJRエンジン相当)及び実機と模型のナセル長さの相異による空気力補正を行った。また、2次処理ではエンジン推力及び各BLC推力をエンジン回転数またはBLCダクト圧力の関数で与え、各 $C_J$ を計算した。

### (3) 配管干渉補正

エンジンあるいはBLCへ高圧空気を送るとき、圧力配管と天秤が干渉し、天秤に影響を与える。今回の風試からこの影響を除くために開発された配管干渉除去装置を導入した。この装置により、圧力配管による天秤への干渉量がほとんど無くなり、このため従来行ってきた配管干渉補正是実施していない。

なお、この配管干渉除去装置の効果を調べるために従来のデータと比較検討を行った結果、十分な再現性があり、この装置の有効性が分かった<sup>5)</sup>。

## 5. 試験概要

バフェット対策予備試験のうちバフェットの原因を探るための二次元模型による風試は川崎重工二次元風洞でまた全機模型によるバフェット対策予備試験と力試験は航技研大型低速風洞にて実施された。予備試験は気流系による流れ観察を主体として各対策の優劣を判断した。

### 5.1 バフェット対策予備試験

予備試験ではバフェットの原因と思われるナセル間の流れの状況把握と流れ改善対策検討のため、ナセル間前縁部の二次元模型を製作し、4種類の対策を施し、気流系、煙による可視化試験を行った。

この二次元模型は実機の18分の1縮尺模型で、使用風洞は川崎重工二次元風洞である。試験中の風洞風速は10m/sでエンジン間主翼翼弦長基準でのレイノルズ数 $Re$ は $0.168 \times 10^6$ である。

この気流系試験結果に基づき8%低速全機模型を用いてバフェット対策予備試験を実施した。使用風洞は航技研大型低速風洞で、バフェット対策効果の判定は気流系、煙による流れの観察、水平尾翼翼端の振動加速度及び6分力の比較で行った。但し、6分力については当風試が急拵実施された

ため、各種検定試験を省略したので基本形態との差分よりその効果を判定した。対策はナセル・フェンス及び前縁ループを種々組み合わせて、基本形態を含め全部で10ケース実施した。風洞風速は25m/sで $Re$ は主翼平均空力翼弦長を基準に、 $0.608 \times 10^6$ である。試験はエンジン推力係数 $C_J$ が0及び0.5について実施した。尚、発煙筒による流れの観察では風洞風速を10m/sに下げて実施した。

### 5.2 力試験予備試験

力試験では配管干渉除去装置を組み込んで実施したため、従来の方法と若干異なった検討が必要であり、予備試験としてエンジン推力検定試験、エンジンバルブ開度設定試験、BLC推力検定試験を行った。

#### エンジン推力

従来のエンジン推力制御はエンジン・バルブ開度を一定にして、元圧を変えることにより行う方式であったが、配管干渉除去装置は常に一定の元圧を加えて作動させる構造になっているため、従来の方式を用いることは出来ない。そこで、エンジン・バルブ開度を自動的に変えれるように模型の改修を行った。そこで、エンジン推力制御は一定の元圧の下で、バルブ開度を変えることにより行う方式になった。

エンジン推力検定試験でエンジン回転数に対する推力の関係及びバルブ開度に対する回転数の関係を求め、これらの関係より任意のエンジン推力を得るようにした。図11(a)はNo.1エンジンについてのエンジン推力計測結果で、推力は回転数の4次式近似で表されている。図11(b)には元圧をパラメータにバルブ開度と回転数の関係の測定結果を示す。

本試験では、 $C_J = 0.5, 1.0$ のとき、元圧は1.08 MPa ( $11 \text{ kgf/cm}^2$ )、 $C_J = 1.85, 3.0$ の時、元圧は1.67 MPa ( $17 \text{ kgf/cm}^2$ )である。

尚、パソコンに予め4台のエンジンの推力～回転数及び回転数～バルブ開度の関係を入れておき、指定された $C_J$ 値に対応する回転数が保たれるようバルブ開度の調整をパソコンの指令で自動的に行えるプログラムの開発を行った。この詳細に

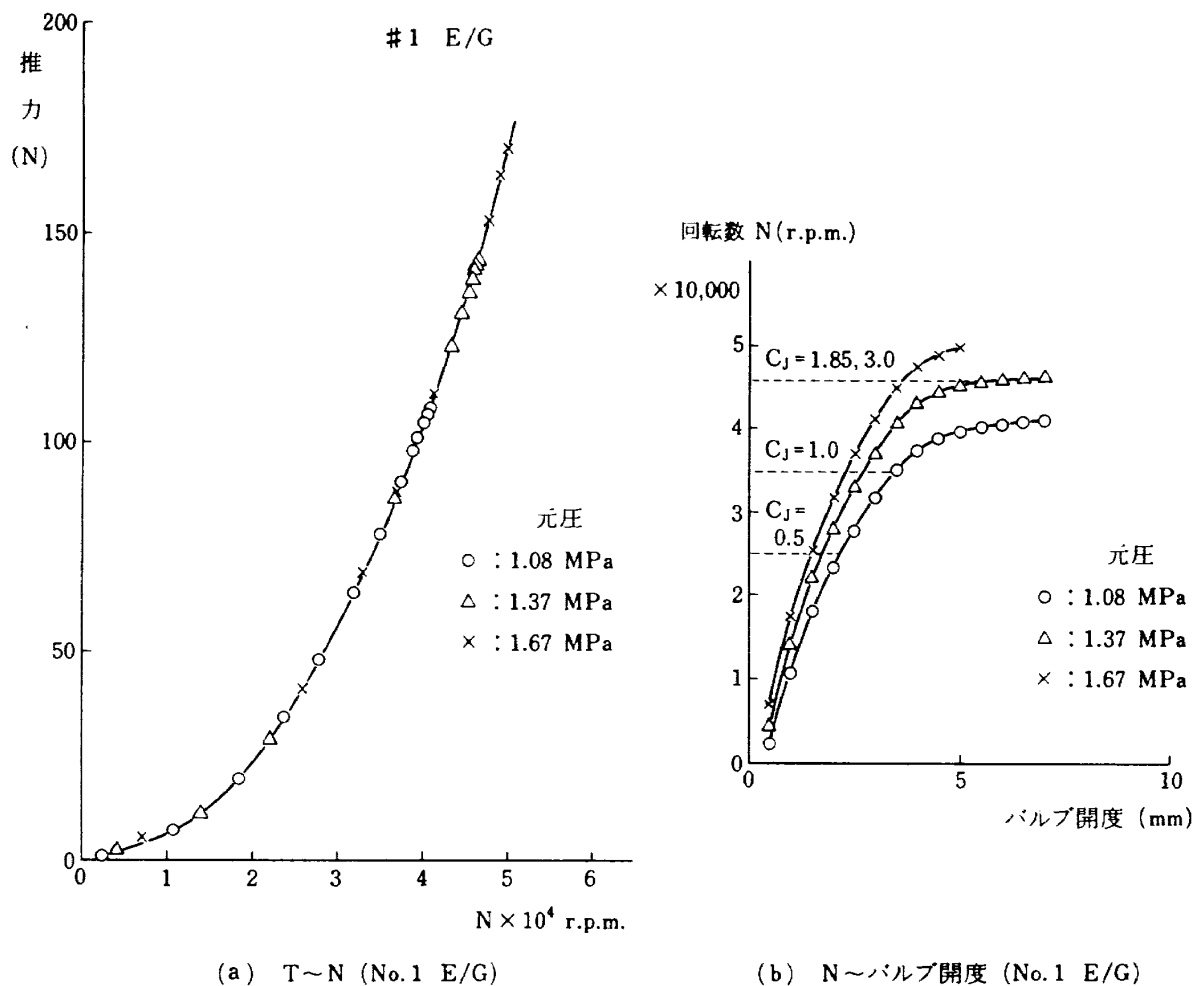


図11 エンジン推力検定試験結果（No.1 エンジン）

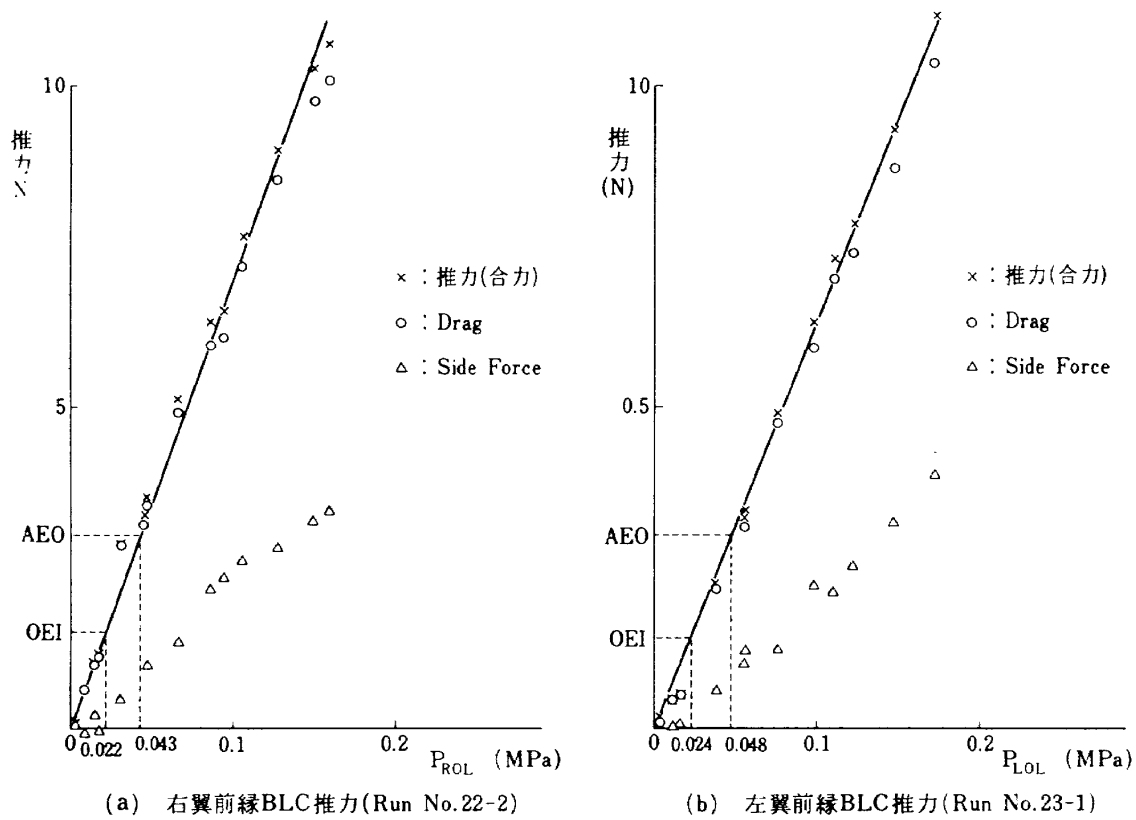


図12 前縁 BLC 推力

については別途報告されるであろう。

### 前縁BLC推力

図12に前縁BLC推力検定結果を示す。この結果から、前縁BLCはチャンバー圧に対して直線近似で表されている。

尚、 $C_J = 1.0$ の時、 $C_{JOL} = 0.1$ (片舷)になるようにBLCバルブ開度を調整している。

### エルロンBLC推力

図13にエルロンBLC推力検定結果を示す。エルロンBLCはチャンバー圧の4次式近似で表されている。バルブ開度は $C_J = 1.0$ の時、 $C_{JAL} = 0.0056$ (片舷)になるように設定されている。

#### BLC量の差の影響

BLCバルブ開度は試験中は一定であり、BLC吹き出し量は元圧によってのみ変化する。バルブ開度は $C_J = 1.0$ の時に所定の吹き出し量となるよう設定されている。配管干渉除去装置を正常に作動させるため、元圧を一定に保つ必要があり、本試験では $C_J = 0.5, 1.0$ の時、元圧は1.08 MPaであり、 $C_J = 0.5$ でも $C_J = 1.0$ と同量のBLC推力が出ている。この影響を調べるために、 $C_J = 0.5$ 相当のBLC吹き出し量になるように、バルブ開度を調整

してSTOL T/Oについて $C_J = 0.5$ のケースを実施し、 $C_J = 1.0$ 相当吹き出しているケースとの比較を行った。

その結果の概略は以下の通りである。

#### (1) $\alpha$ スイープ

(a)  $C_L$

$C_J = 0.5$ 相当BLCのケースがわずかに小さい。

(b)  $C_D$

差無し

(c)  $C_m$

$C_J = 0.5$ 相当BLCのケースが頭上げ側

(d)  $C_Y, C_I, C_n$

差無し

#### (2) $\beta$ スイープ

(a)  $C_Y$

差無し

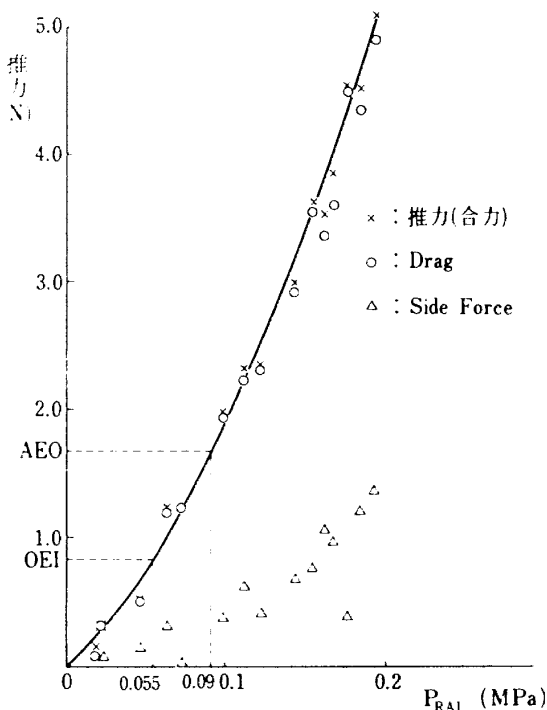
(b)  $C_I$

$C_J = 0.5$ 相当BLCのケースの $C_{I\beta}$ が小

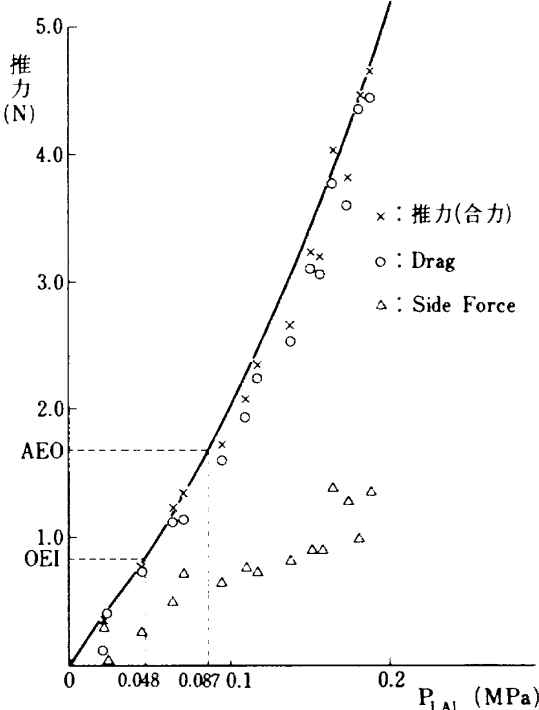
(c)  $C_n$

差無し

従って、今回の風試結果を検討する際には、これ



(a) 右エルロンBLC推力(Run No.20-2)



(b) 左エルロンBLC推力(Run No.20-1)

図13 エルロンBLC推力

らの影響を考慮しなければならない。

前縁BLCも作動させるSTOL L/Dでは、BLC量の差の影響は更に大きいと考えられる。この現象を避けるために、BLCバルブも自動化すべきであろう。

### 5.3 力試験本試験

力試験はバフェット対策予備試験で得られた最終形態、即ち、ナセル・フェンス+ナセル間ドループ・ノーズが空力係数に及ぼす効果を調べるために実機に取り付けるときの技術検討を行うために実施された。

試験は比較のためのT/O及びL/D形態の基本特性とナセル・フェンス+ドループ・ノーズ装着時の前記2形態について尾無し及び全機形態で $\alpha$ 並びに $\beta$ スイープを行った。

風洞風速は25 m/sで $C_J$ は0.0, 0.5, 1.0, 1.85及び3.0である。ただし、 $C_J=3.0$ の時は風洞風速は19.6 m/sである。この時のReは平均空力翼弦長基準で $0.462 \times 10^6$ である。

## 6. 試験結果

### 6.1 バフェット対策予備試験(二次元模型)

二次元模型による無対策時のナセル間前縁部の流れの観察結果を図14に示す。

何も対策を施していない状態では、ナセル側面と主翼前縁との交点から強い渦流が発生し、円錐

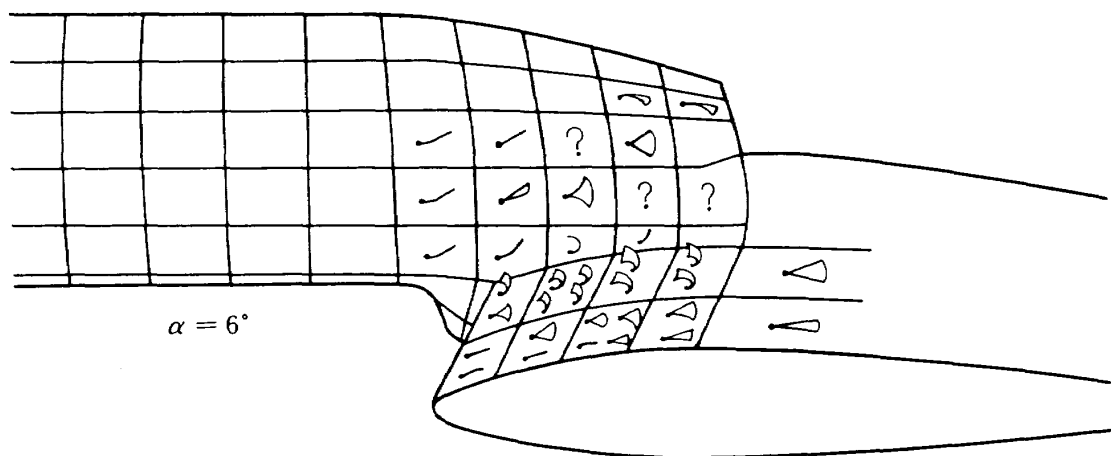
状に後方に向けて広がっている。その結果、ナセル近傍の主翼前縁部上面の気流糸は完全に剥離している。また、ナセル側面も流れは剥離を起こしている。そこで対策として、

- (1) ナセル間の後退角を無くしたステップ前縁とし、主翼前縁上面にV.Gを付加する。
  - (2) ナセル間前縁ドループ・ノーズを付加する。
  - (3) ナセル側方にフェンス(大小)を取り付ける。
- を採用し、気流糸観察を行った。図15(a)～(d)にこれら対策を施した模型形態を示す。

図16(a)～(d)にこれら気流糸観察結果を示す。

気流糸試験結果を見ると、

- (1) ステップ前縁+V.G(図中ボルジェネと記す)は無対策とほとんど変わらない(V.Gの直後を除く)。
  - (2) ドループ・ノーズにすると流れは大幅に改善され、ナセル側面及び主翼上面に付着している。但し、ナセルと主翼の付け根付近の流れの付着状況は良くない。
  - (3) 小フェンスを取り付けると、ナセル側主翼上面で、気流糸がチラチラしている程度である。
  - (4) 大フェンスの場合は流れが完全に主翼前縁及びナセル側面に付着している。
- という事が判った。これはフェンスから発生する渦により、剥離渦が抑制されるからであろう。
- その結果、ナセル側方から、主翼前縁にかかる



No Device

図14 ナセル間前縁部流れ観察

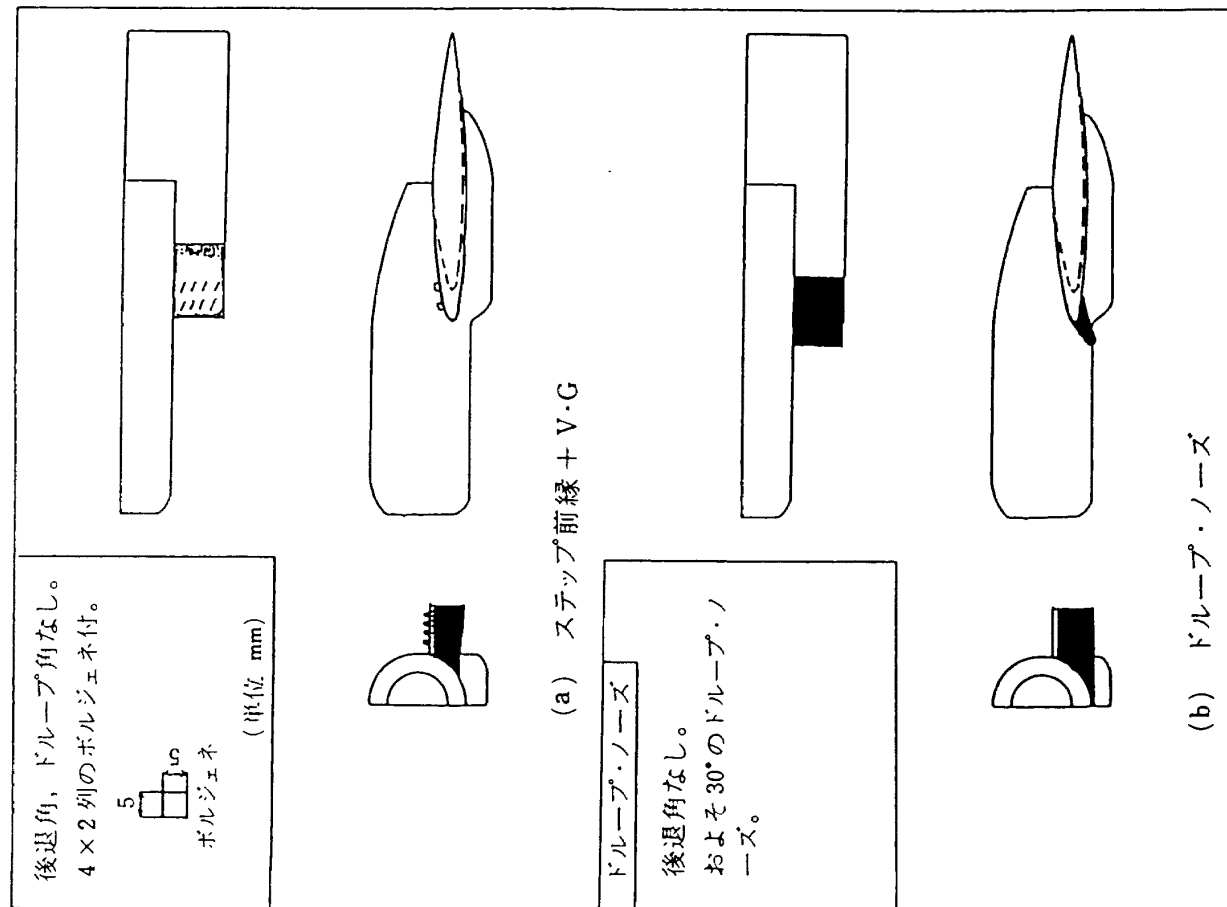
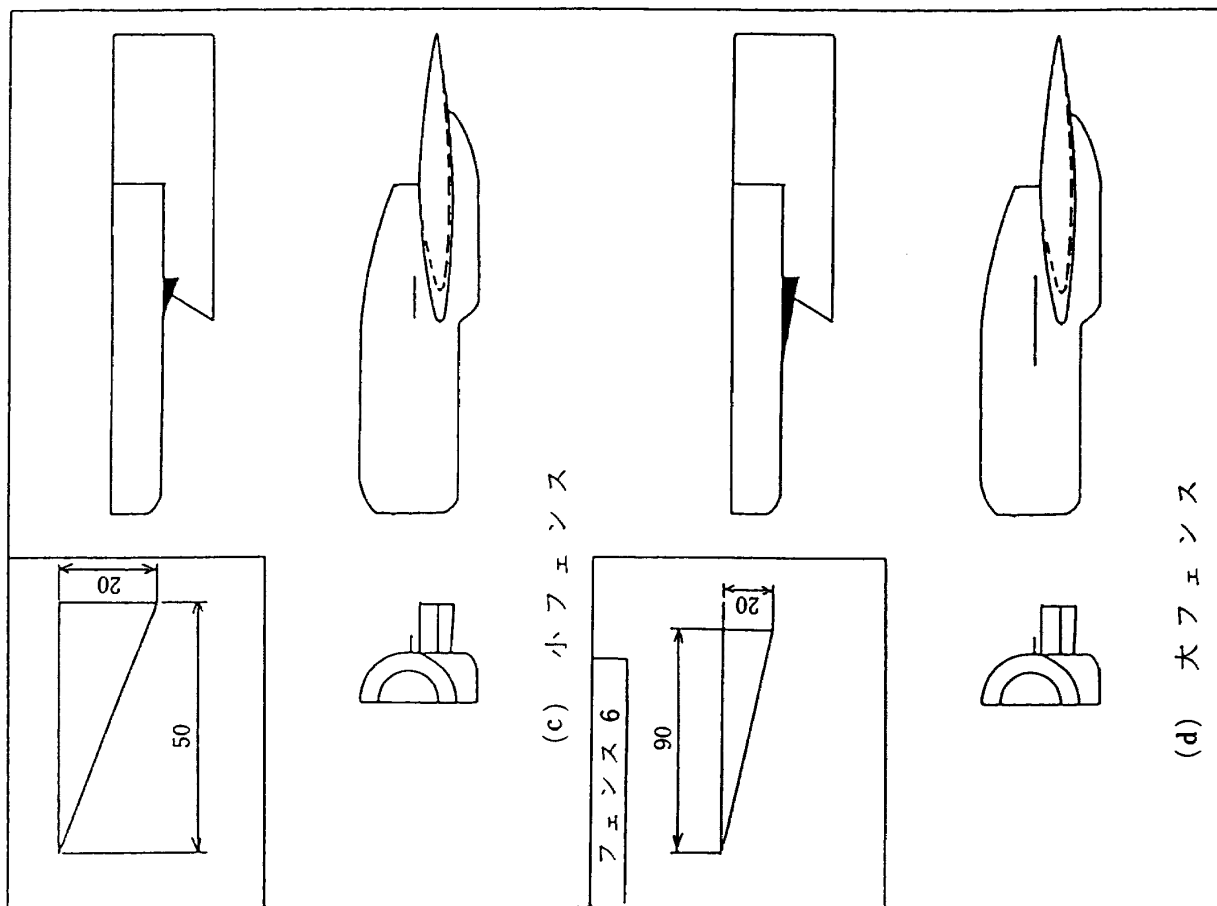


図 15 ナセル間前縁部流れ改善策

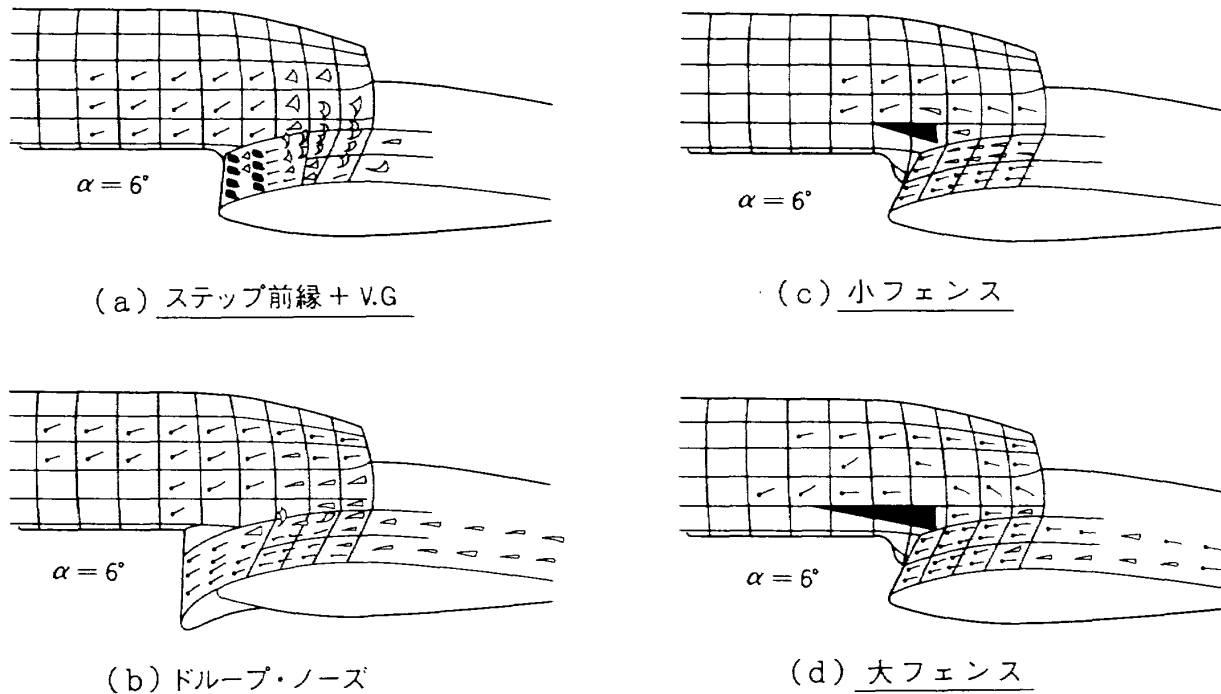


図16 気流系観察結果

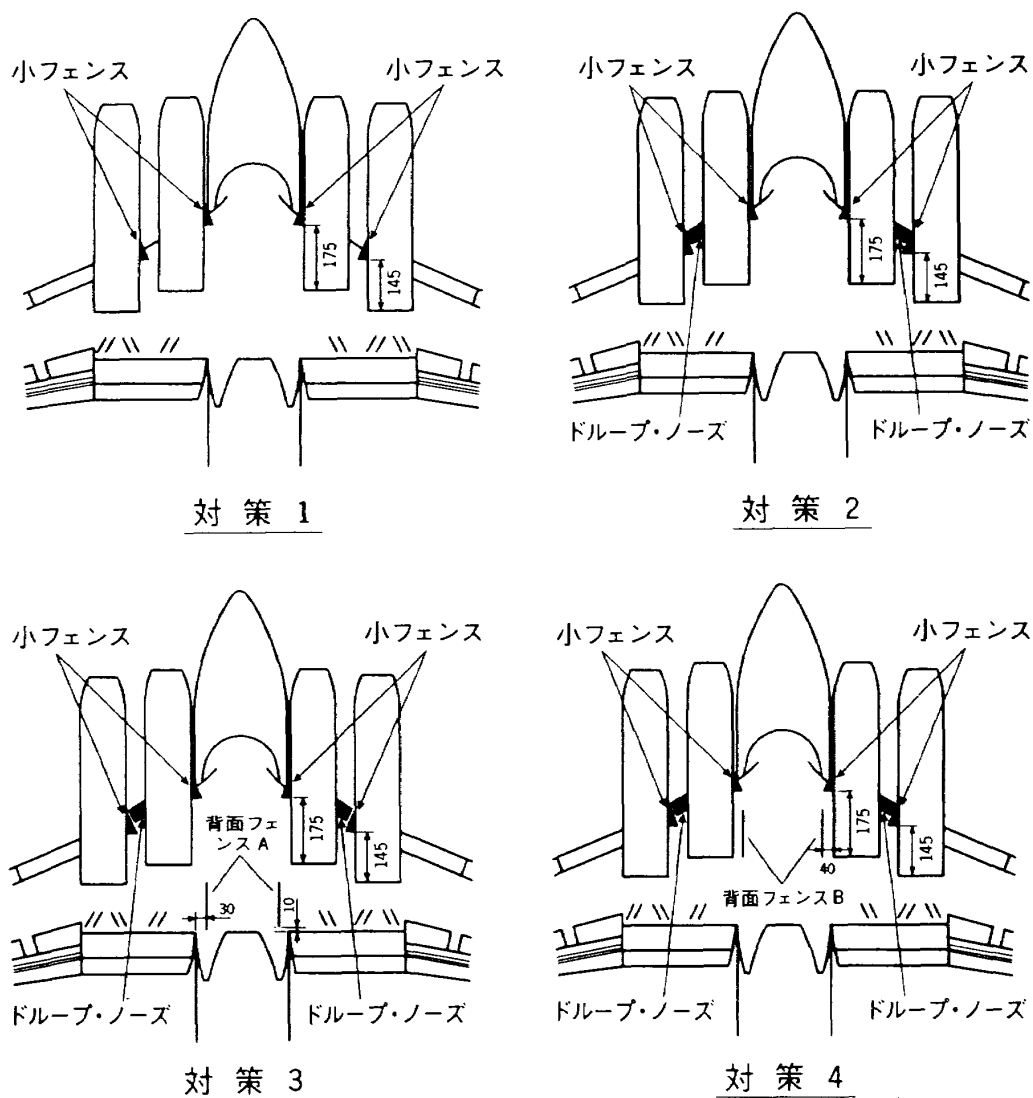


図17(a) バフェット対策

形で三角形のフェンスを取り付けると有効であり、またフェンスが大きい程効果があることが分かった。

## 6.2 バフェット対策予備試験（全機模型）

二次元模型による気流系試験結果に基づき、8%低速全機模型を用いたバフェット対策予備試験を実施した。試験はSTOL T/O, 尾付形態のみ実施した。バフェット対策として、ナセル・フェンス及び前縁ドループ・ノーズを種々組み合わせて、基本形態を含め全部で10ケースを実施した。

図17(a), (b)にこれらバフェット対策を施した模型形態を示す。対策1は各ナセルの胴体側に小フェンスを取り付ける。対策2は対策1にナセル間前縁ドループ・ノーズを取り付ける。対策3は対策2に背面フェンスAをUSBフラップ近傍に取

り付ける。対策4は対策2に背面フェンスBをナセル近傍に取り付ける。対策5は対策2に背面フェンスCを取り付ける。対策6は対策2の形態に更に小フェンスを外エンジンナセル外側に、またナセル側面胴体上面に背面V.Gを取り付ける。対策7は対策6の形態でフェンスを5mm翼上面に近づける。対策8は対策7の形態の内、内エンジン胴体側ナセルに小フェンスの代わりに大フェンスを取り付ける。対策9は対策8の形態から背面V.Gを取り除く。以上の9形態である。

## 気流系試験結果

流れの様子は気流系により観察した。気流系は風洞測定部上面よりカメラにより撮影したが、この時風洞計測室の指令者よりトランシーバを通して写真撮影者と迎角、横滑り角及び $C_d$ を連絡しあ

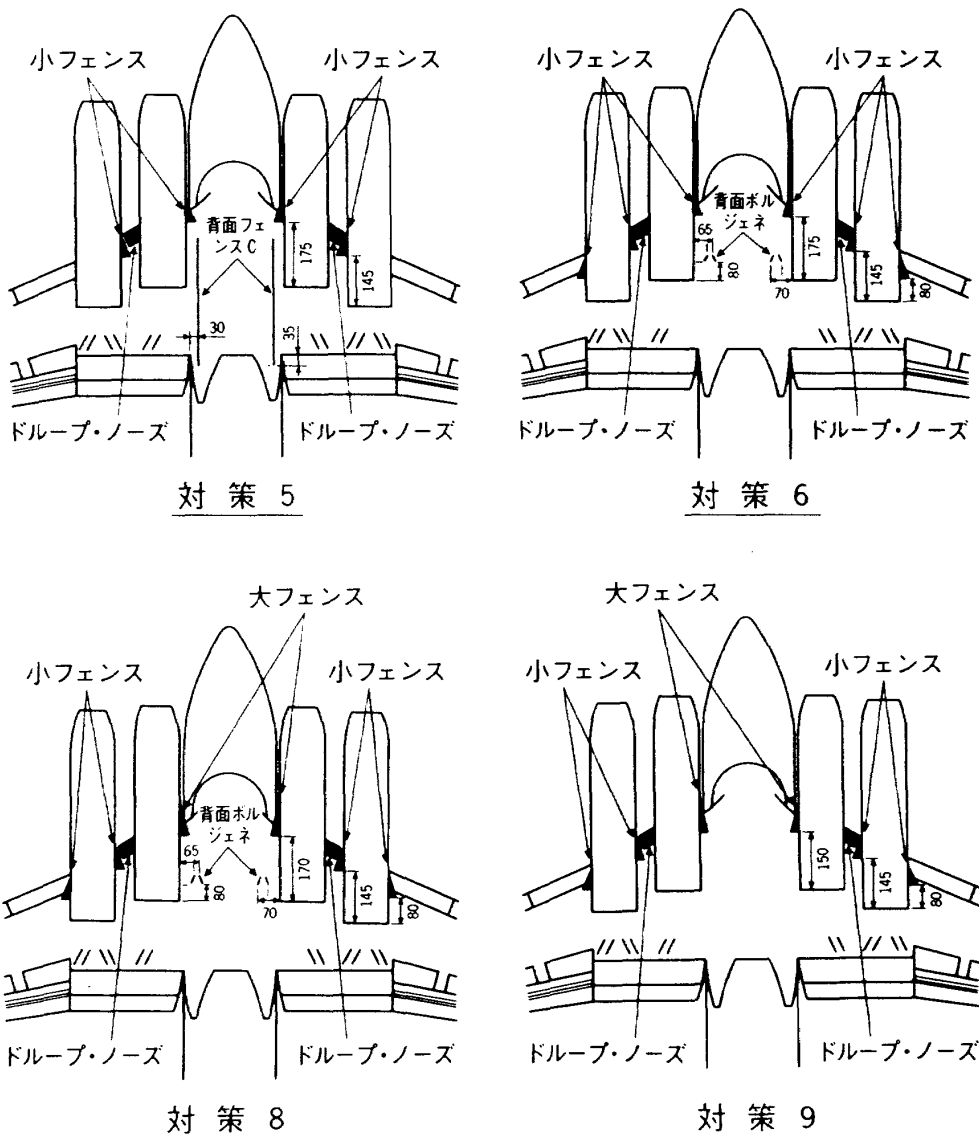


図17 (b) バフェット対策

い、気流糸写真を撮った。試験は各形態につき、 $C_J=0.0, 0.5$ で $\alpha$ 及び $\beta$ を振って行った。

図18に気流糸写真の一例を示す。この写真と風洞試験中の気流糸観察者のスケッチを基に流れの状況をまとめたものを図19(a)~19(c)に示す。

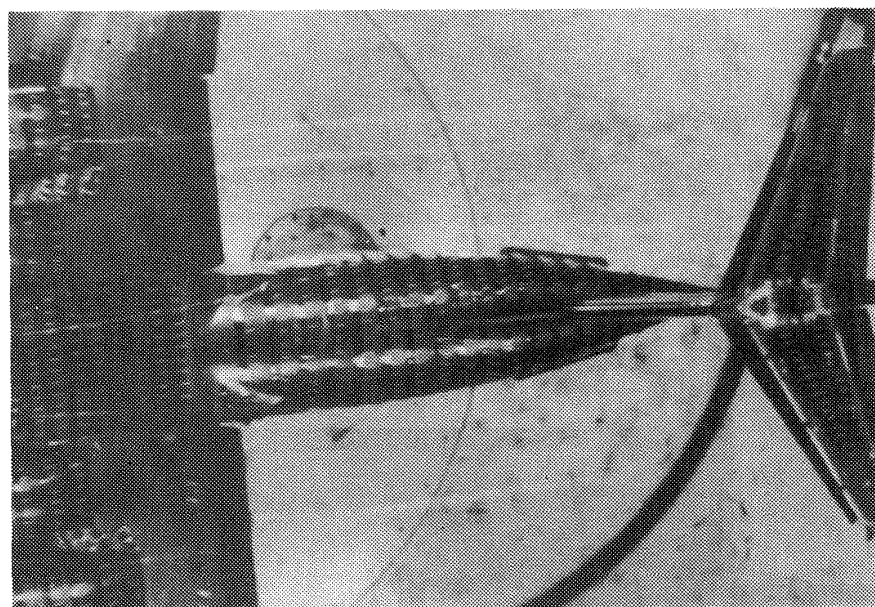
基本形態についての気流糸観測結果から、早期に流れが剥離する箇所は

- (1) ナセル間 ( $C_J=0.0$ で $\alpha=2^\circ$ ,  $C_J=0.5$ で $\alpha=0^\circ$ )
- (2) ナセル一胴体間 ( $C_J=0.0$ で $\alpha=4^\circ$ ,  $C_J=0.5$ で $\alpha=2^\circ$ )

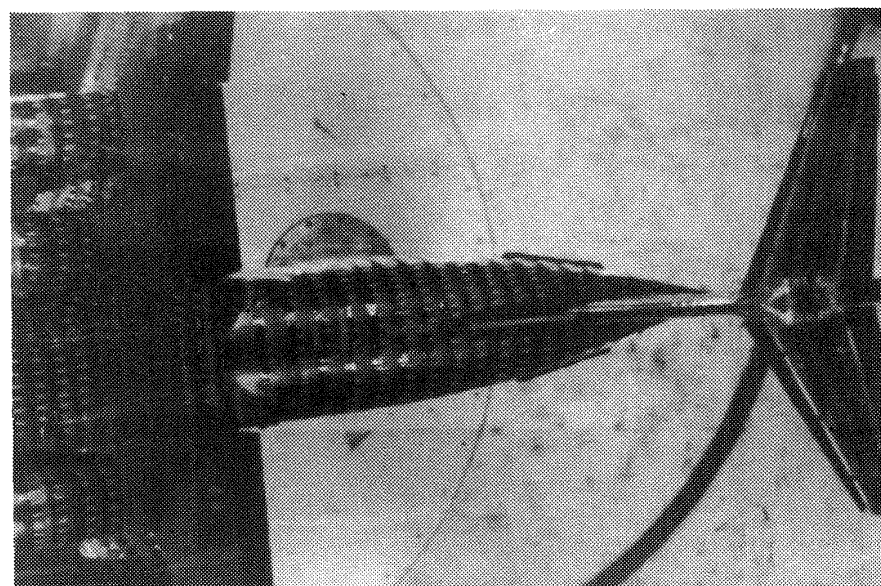
(3) 中央翼後方 ( $C_J=0.0, 0.5$ ともに $\alpha=6^\circ$ )

であることがわかる。それ故、バフェットの原因となる流れはこれら箇所から発生していると判断できる。

そこで、ナセル・フェンス及び前縁ドループ・ノーズを付加して流れの状況を観察すると、対策1で小フェンスを張り付けるだけで流れが著しく改善されることが判る。前縁ドループ・ノーズを取り付けた対策2では更に流れは改善され、それに背面フェンスを取り付けることにより胴体上面の流れが更に改善される。



(a) 基本形態, V.G ON,  $C_J=0.0$ ,  $\alpha=2^\circ$



(b) 同上,  $\alpha=10^\circ$

図18 気流糸写真

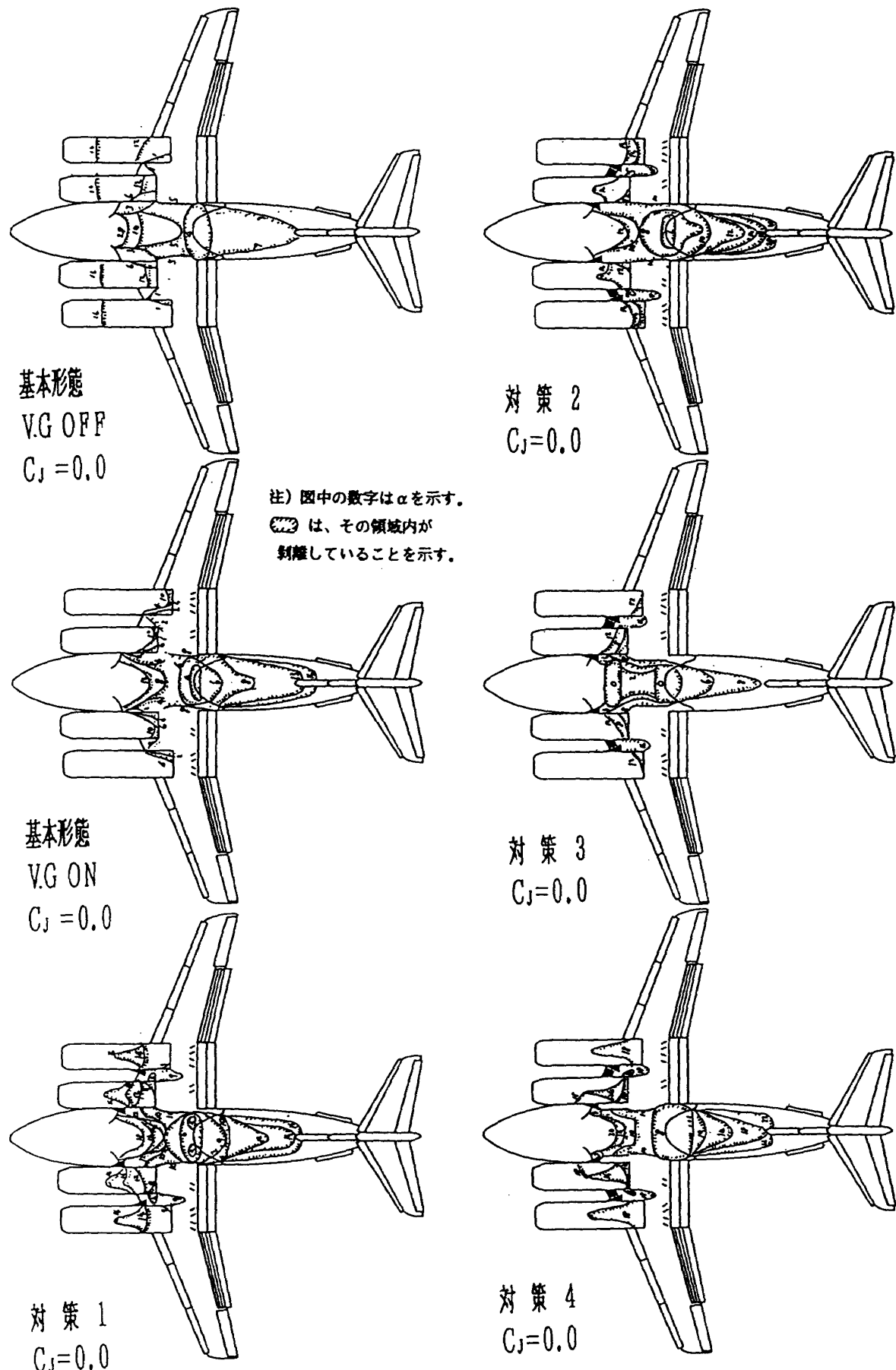


図 19 (a) 気流糸観察

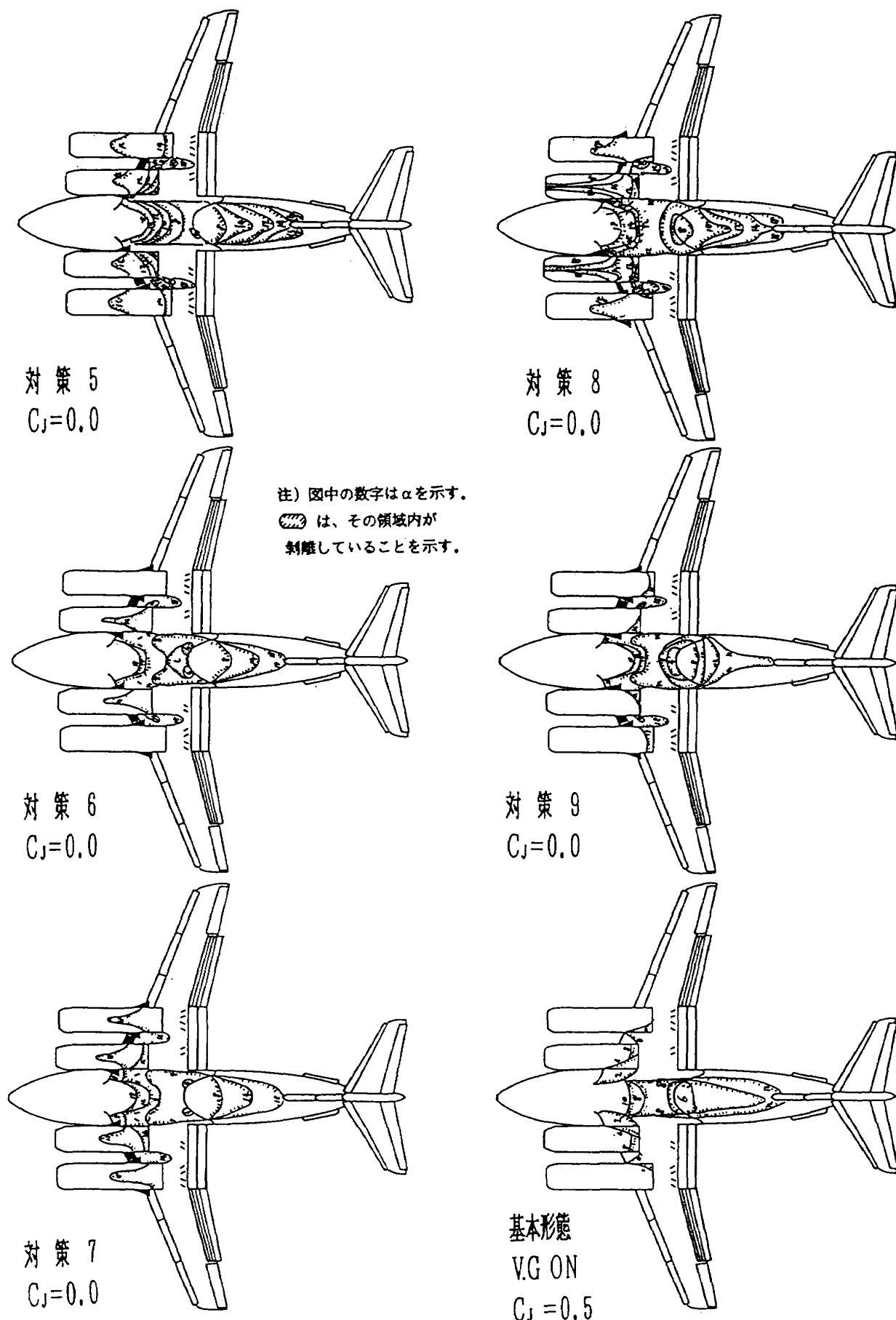


図 19 (b) 気流系観察

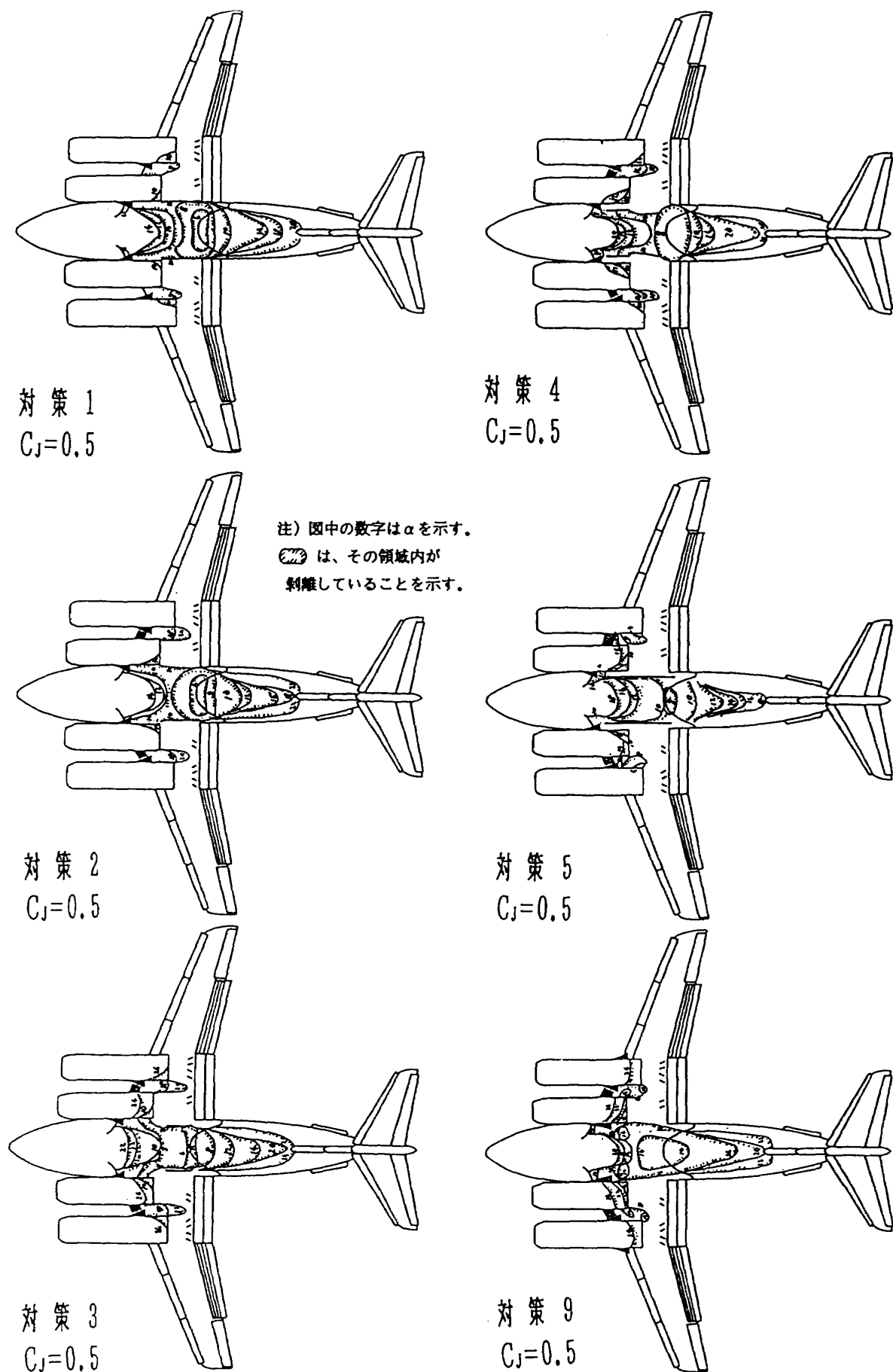


図 19 (c) 気流系観察

### 水平尾翼翼端振動測定結果

水平尾翼翼端に取り付けた加速度計の出力G(加速度計の出力電圧の自乗平均値で、実際の加速度は $2G/V$ を掛けて得られる。)の迎角に対する変化からバフェット対策の効果を調べた。図20(a)に

$C_J=0.0$ の、図20(b)に $C_J=0.5$ の時のGの各対策における迎角に対する変化を示す。

$C_J=0.0$ の時、基本形態では $\alpha=6^\circ$ でGが大きくなり始める(立ち上がりと称する)が、対策1では $2^\circ$ 程度立ち上がりが遅れる。また、Gの大きさ

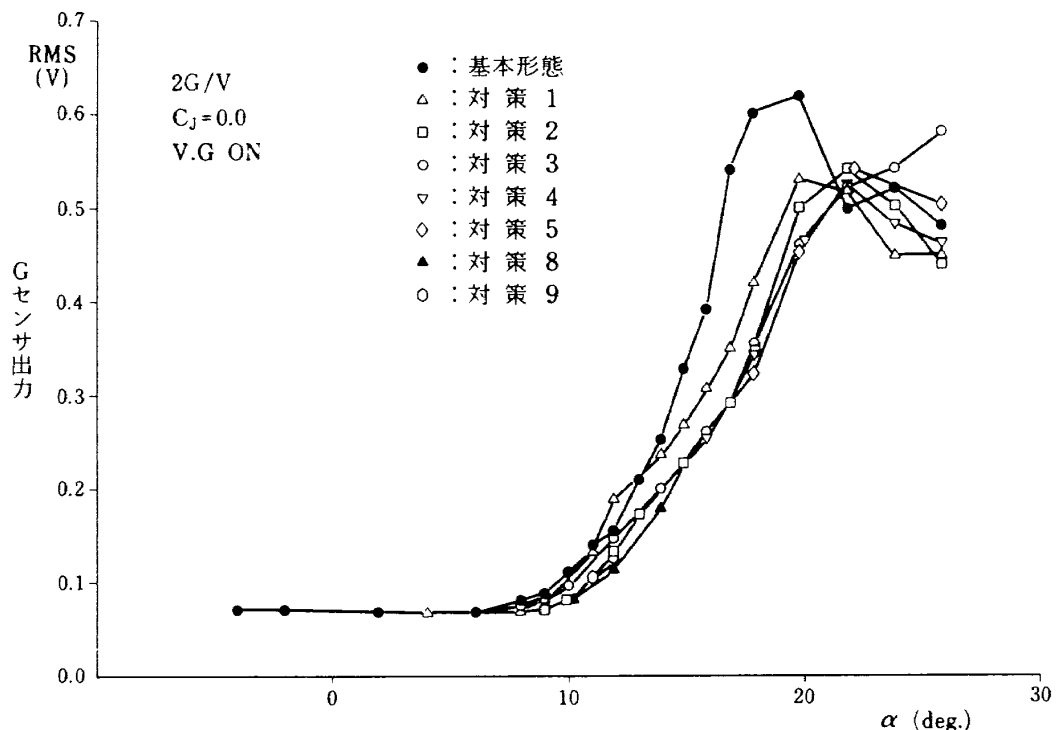


図20 (a) 水平尾翼翼端振動 ( $C_J = 0.0$ )

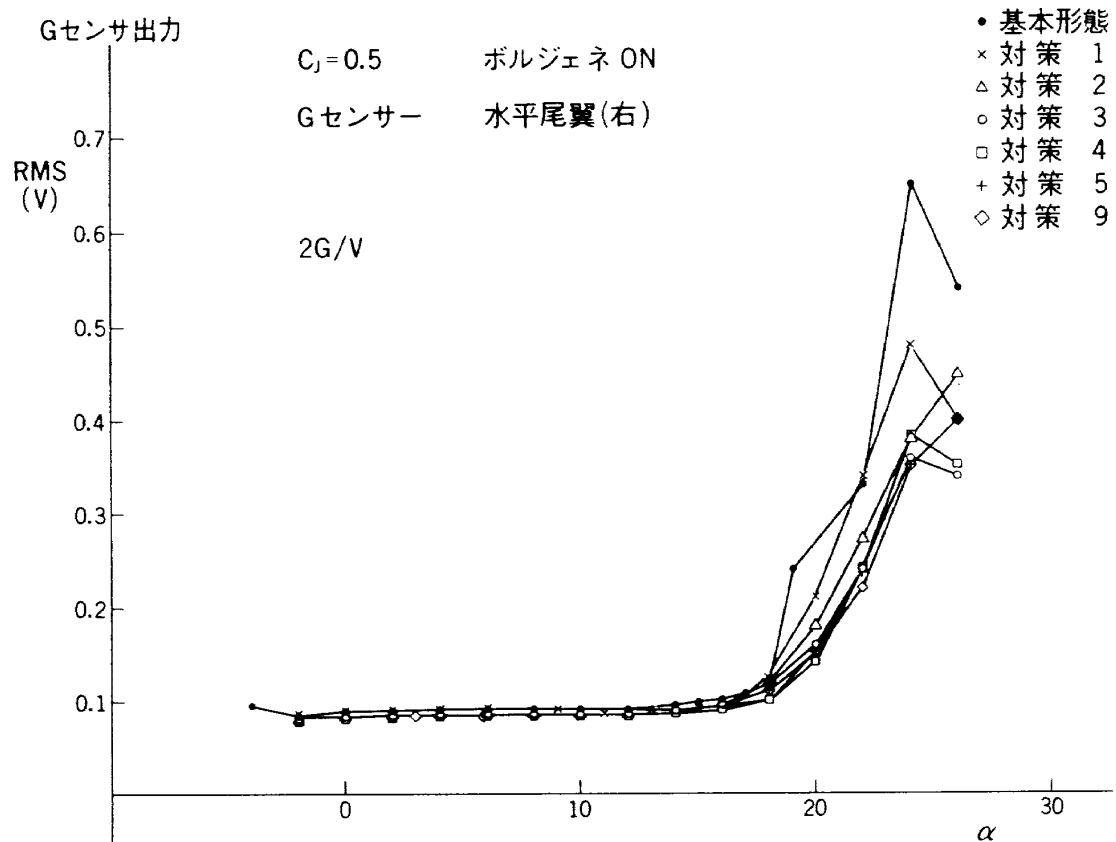


図20 (b) 水平尾翼翼端振動 ( $C_J = 0.5$ )

も減少する。更に対策2になるとGの立ち上がりは2°程度遅れ、Gの変化も緩やかにまた大きさも減少する。対策3以降は対策2とほとんど変わらない。

$C_J = 0.5$ の場合、基本形態でのGの立ち上がりは  $\alpha = 12^\circ$  近辺であるが、対策1以降では約3°立ち

上がりは遅れる。また、Gのピーク値も基本形態の約半分と小さくなっている。

以上により、ナセル・フェンスによりバフェットの始まりが遅れ、バフェット発生後も、その強さが減少すると考えられ、また、その効果はナセル間前縁ドループ・ノーズとの併用により更に増

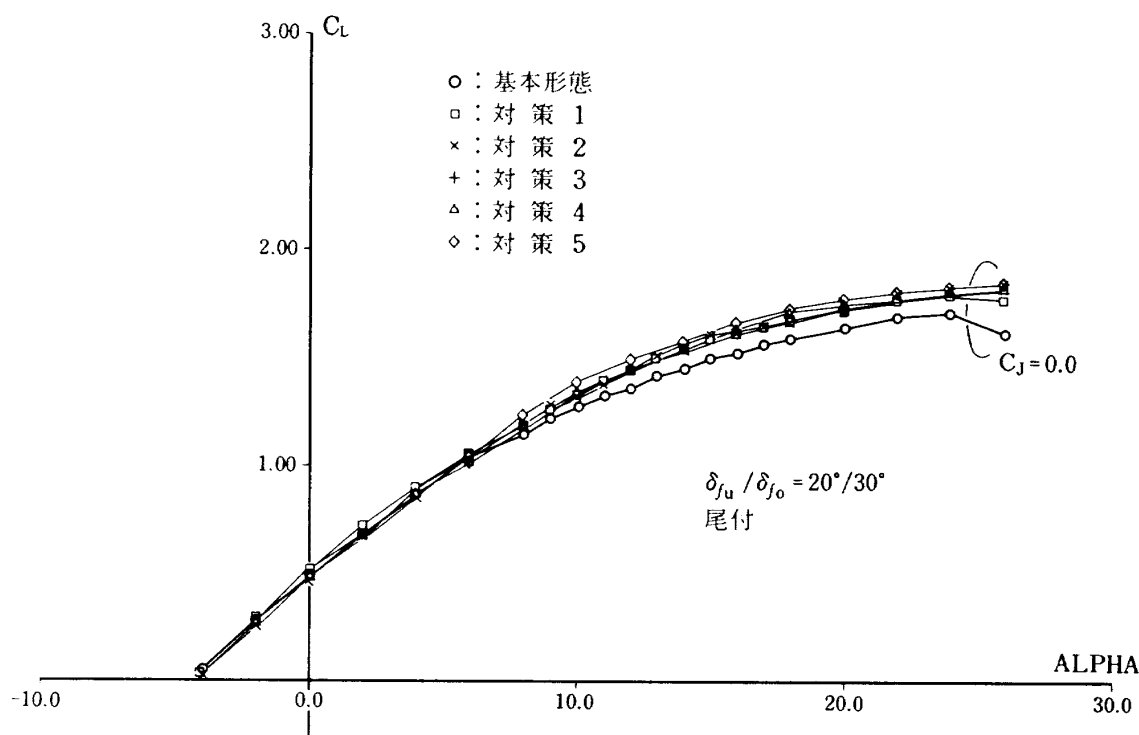


図21 (a)  $C_L \sim \alpha$

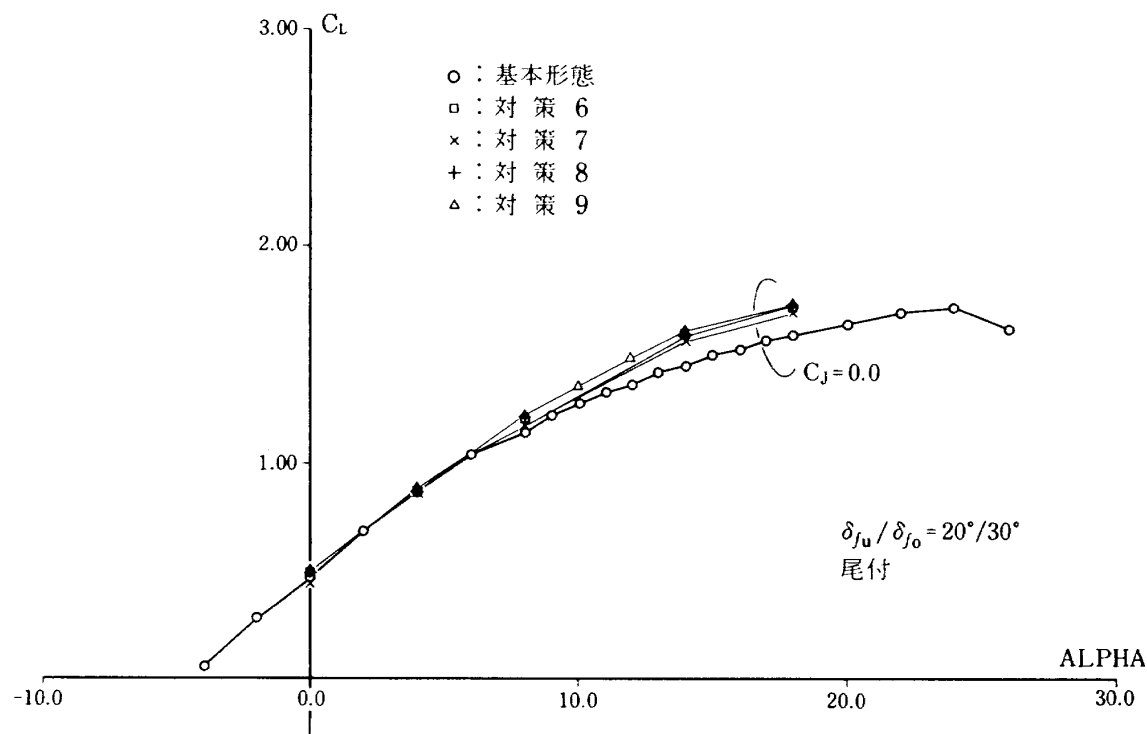


図21 (b)  $C_L \sim \alpha$

大する。

### 力測定結果

力測定によるバフェット対策効果は基本形態との差分によりその効果を判断した。図21(a), (b)及び図22(a), (b)に  $C_J = 0.0$  での、また、図23(a), (b)に  $C_J = 0.5$  での基本形態と各対策に対する  $C_L$ ,

$C_D$  の測定結果を示す。これらの図から、対策を施すことにより  $C_{L\text{MAX}}$ ,  $\alpha_{\text{MAX}}$  の増大が得られること、 $C_D$  が減少することが判る。そして、対策4, 対策5（ナセル内側小フェンス + ドループ・ノーズ + 中央翼背面フェンス）が最も有効であることが判る。しかし、対策6～対策9もほぼ同等の効果を

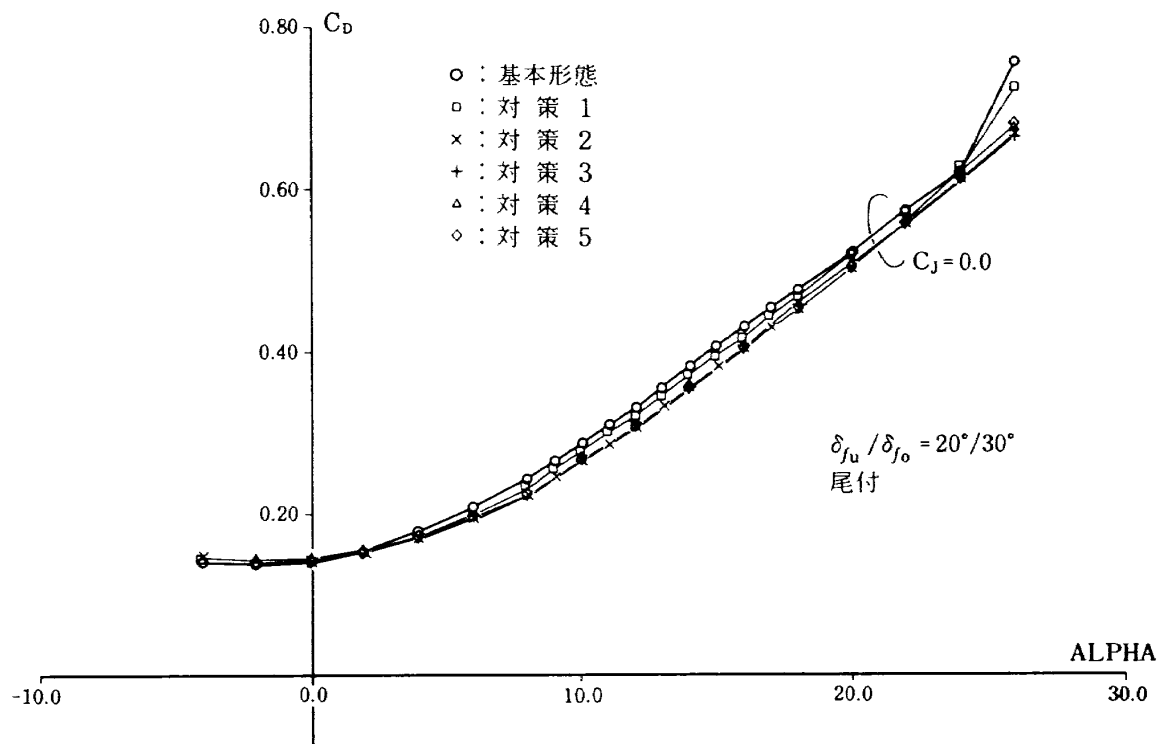


図22(a)  $C_D \sim \alpha$

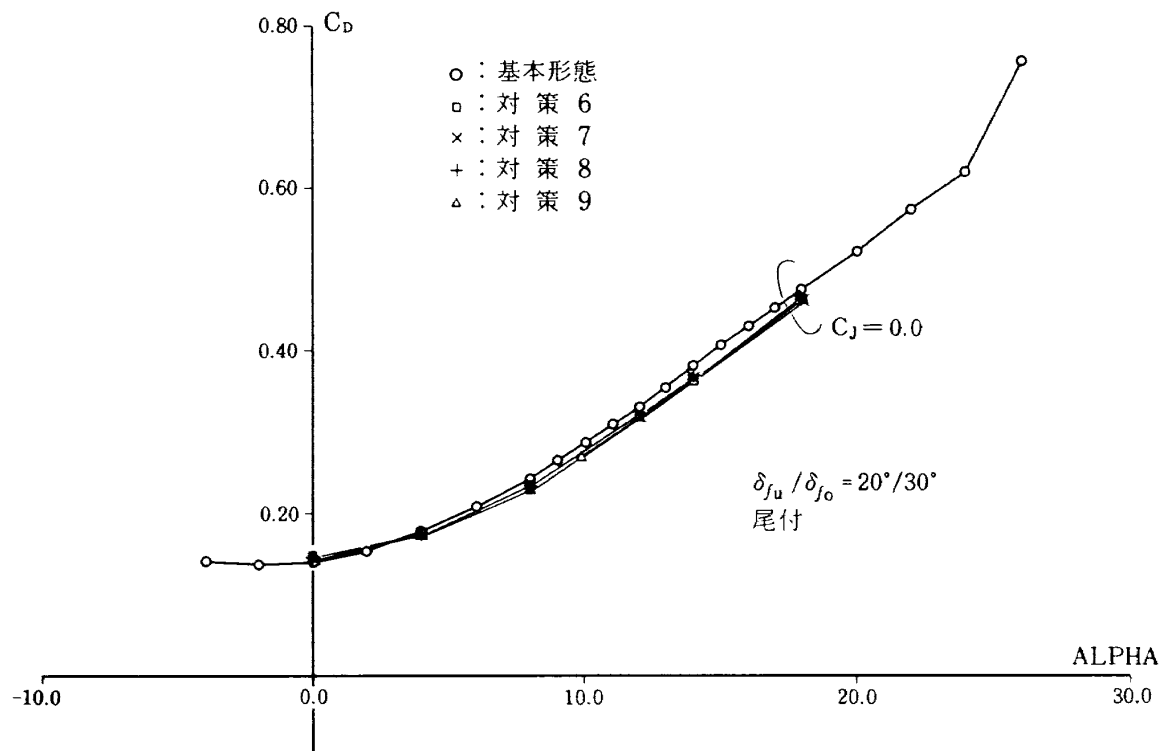
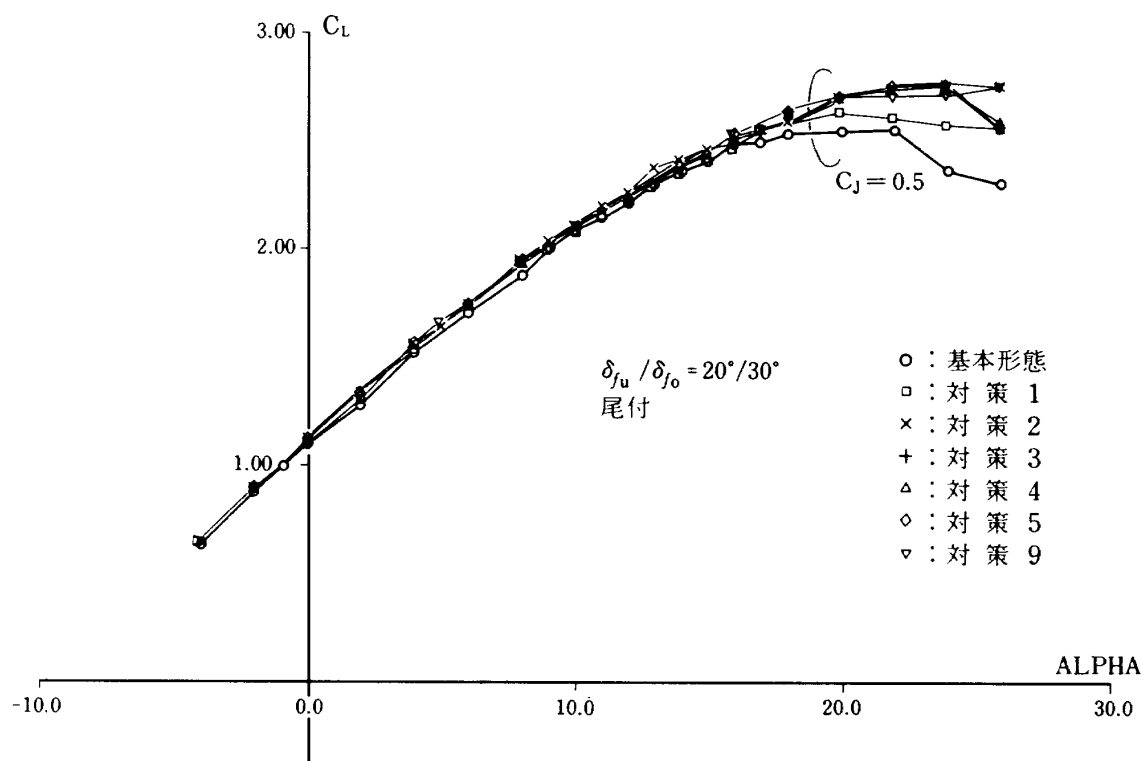
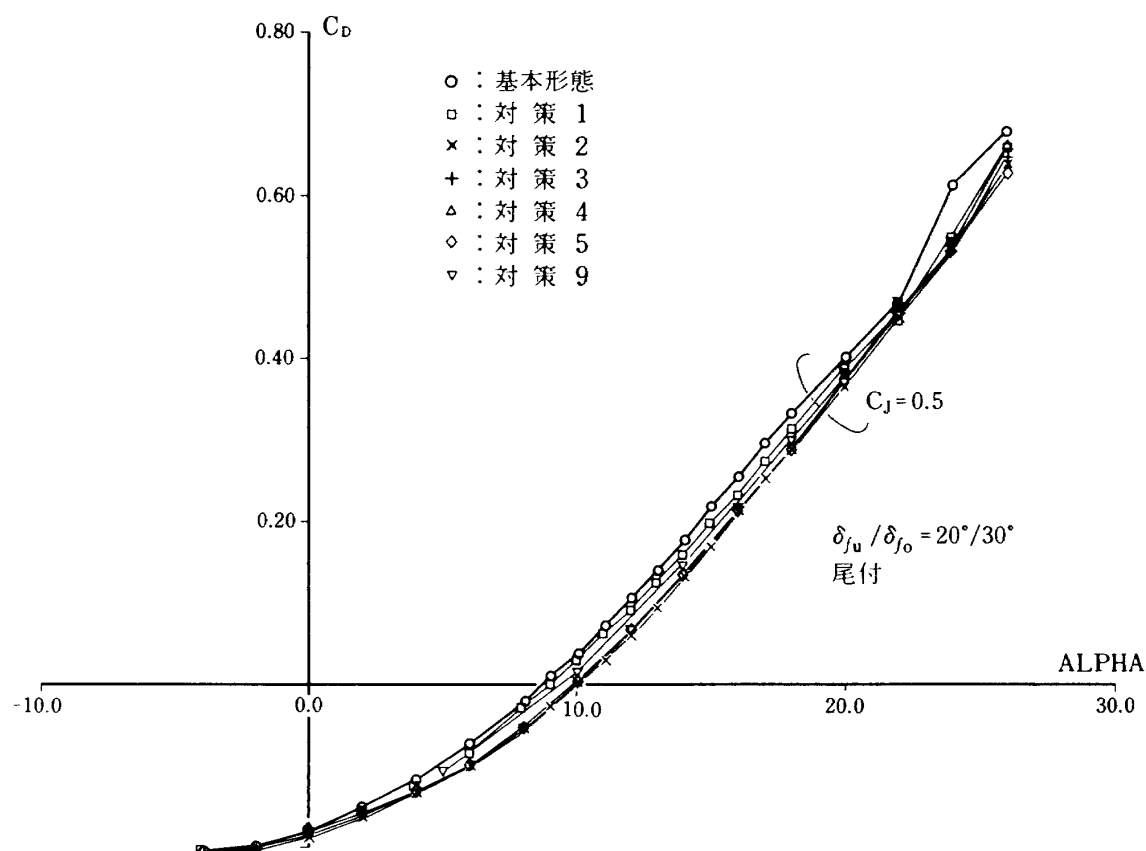


図22(b)  $C_D \sim \alpha$

図 23 (a)  $C_L \sim \alpha$ 図 23 (b)  $C_D \sim \alpha$

持つと判断できる。

対策 5 と対策 6 を比較すると、外ナセル外側フェンスは余り効果がないことが判る。そこで、効果が十分ありかつ実機に適用する際に改造箇所が少なくなることから、バフェット対策としてはループ・ノーズ + 内ナセル内側大フェンス + 外ナセル内側小フェンスの組合せが最も現実的と考えられる。表 1 に気流系観察、水平尾翼翼端振動及び縦 3 分力の検討結果をまとめたものを示す。

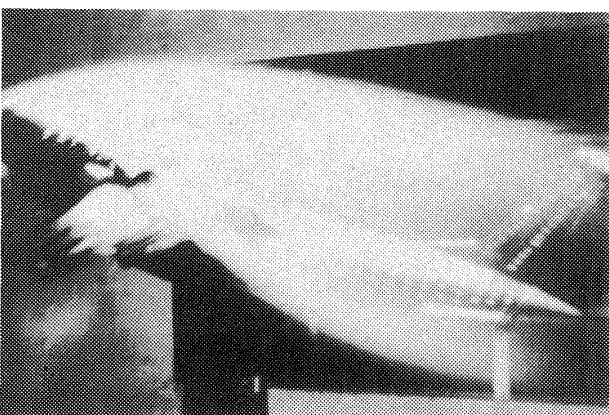
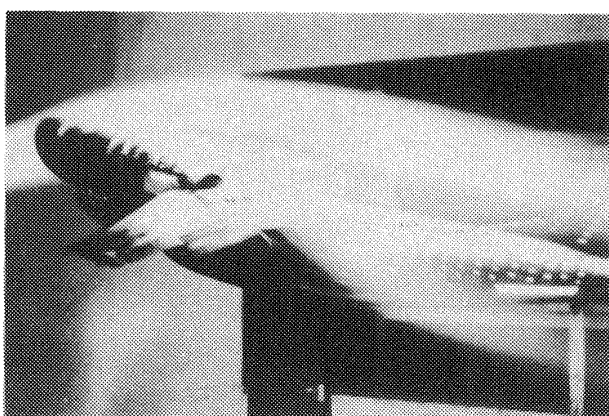
以下にこれら対策により見込まれる効果をまとめると、

- (1) ナセル間、ナセル一胴体間、中央翼後方の流れの剥離が遅れる。
- (2) 尾翼の振動 G の立ち上がる迎角（バフェット・オンセットと考える）が大きくなる。  
( $C_J = 0.0$  で  $2^\circ$ ,  $C_J = 0.5$  で  $3^\circ$ )
- (3) バフェット・オンセット後の尾翼の振動 G の変化が緩やかになる。

- (4) バフェット・オンセット後の尾翼の振動 G が全体に小さくなる。(基本形態の G のピークを示す迎角での値で比較すると,  $C_J = 0.5$  では G の大きさは半減する。)
- (5)  $\alpha_{MAX}$ ,  $C_L MAX$  はともに大きくなる。
- (6)  $C_D$  は減少する。
- (7)  $C_m$  は頭上げ側に移動する。

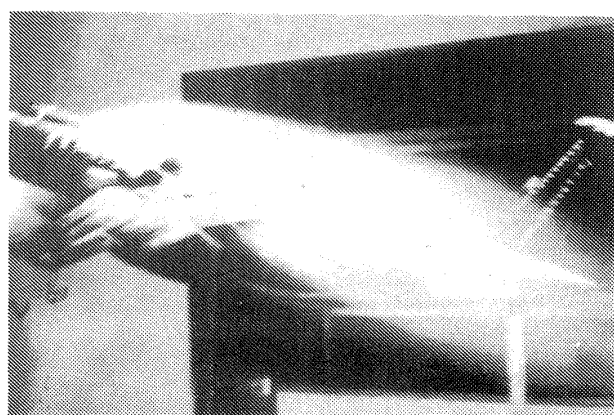
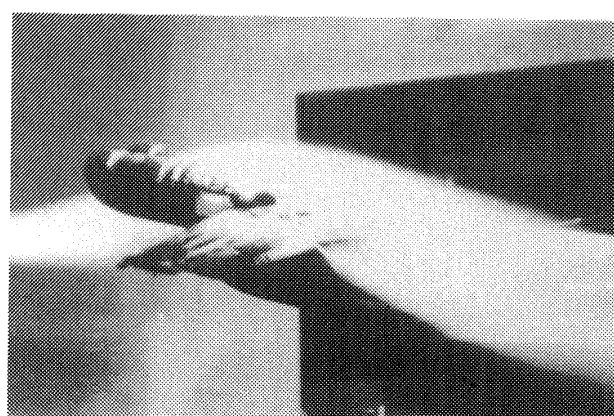
#### 煙による可視化

対策 9 を施した形態で発煙筒による煙可視化試験を行った。試験は可視化のため、風洞風速を 10 m/s に落とし、 $C_J = 0.5$  について実施した。図 24 (a), 24 (b) に試験結果を示す。ナセル間流れ観察の時、発煙筒位置が多少ずれて、特に大迎角では前縁に正しく当たっていなかったが、迎角が  $20^\circ$  を越えると、水平尾翼に煙が当たるようである。また、ナセル一胴体間の流れは大迎角になつても流れは垂直尾翼の下方を過ぎるだけである。



対策 9,  $C_J = 0.5$

図 24 (a) 煙観察 (ナセル間)



対策 9,  $C_J = 0.5$

図 24 (b) 煙観察 (ナセル一胴体間)

### 6.3 力 試 験

力試験では、これまで予備試験で得られたナセル・フェンス及びナセル・フェンス+前縁ドループ・ノーズ（フェンス+ドループと略す）の最適な形態に対して、その効果を定量的に調べるために、8%低速全機模型による風洞試験を実施した。

尚、これら得られたデータは全て飛行試験での飛行性等の検討資料として提供されている。

試験はナセル・フェンス+ドループ・ノーズ装着時で、STOL T/O, L/D 形態の各々に対して、全機及び尾なし形態での全エンジン作動時と1エンジン不作動時と、ナセル・フェンス装着時で、STOL L/D 形態全機で全エンジン作動時と1エンジン不作動時についてそれぞれ $\alpha$ スイープ、 $\beta$ スイープによる6分力測定を行った。

代表的な図を図25(a)から図28(c)に、またこれら結果をまとめたものを表2(a)から表4(b)に示す。

### ナセル・フェンス+ドループ・ノーズ効果

$\alpha$ スイープの結果を見ると、 $C_L$ は一般にフェンス+ドループ付きの方が大きい。 $C_D$ はフェンス+ドループ付きの方が小さい。 $C_m$ は一般にフェンス+ドループ付きの方が頭上げ側であるが、STOL T/O OEI 尾なし及びSTOL L/D 形態で頭下げ側になる。 $C_Y$ ,  $C_I$ ,  $C_n$ はほとんど差はない。 $\beta$ スイープではSTOL L/D 形態の $C_m$ が頭下げ側になる以外、ほとんど差がない。

従って、ナセル・フェンス+ドループ・ノーズは、バフェット対策のほかに揚抗比の改善にも役立つと言えよう。

### ナセル・フェンス効果

$\alpha$ スイープでは、AEO時、 $C_L$ の最大値はフェンス付きの方が大きいが、小 $C_J$ では、 $C_L$ の最大値からの減少が急である。OEIでは $C_L$ はほとんど差はない。 $C_D$ ,  $C_m$ ,  $C_Y$ ,  $C_I$ ,  $C_n$ はほとんど差はない。 $\beta$ スイープでは、6分力は全体的にほとん

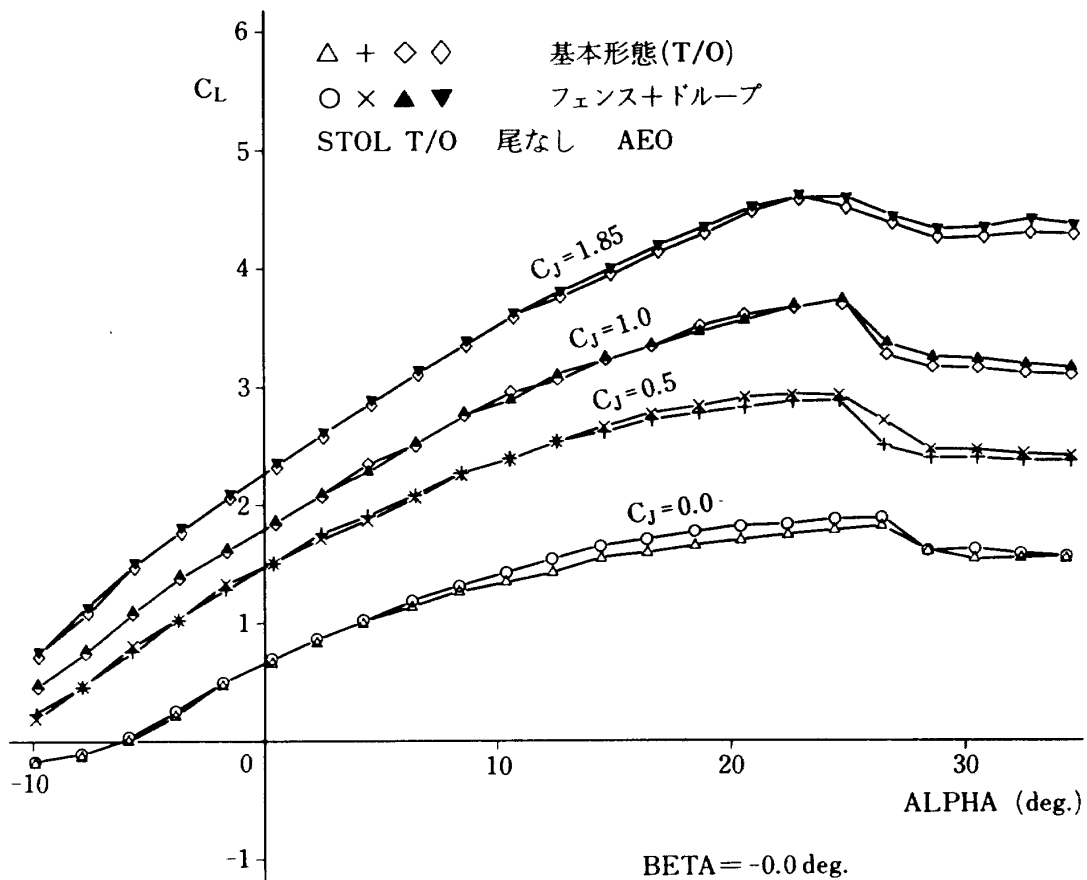
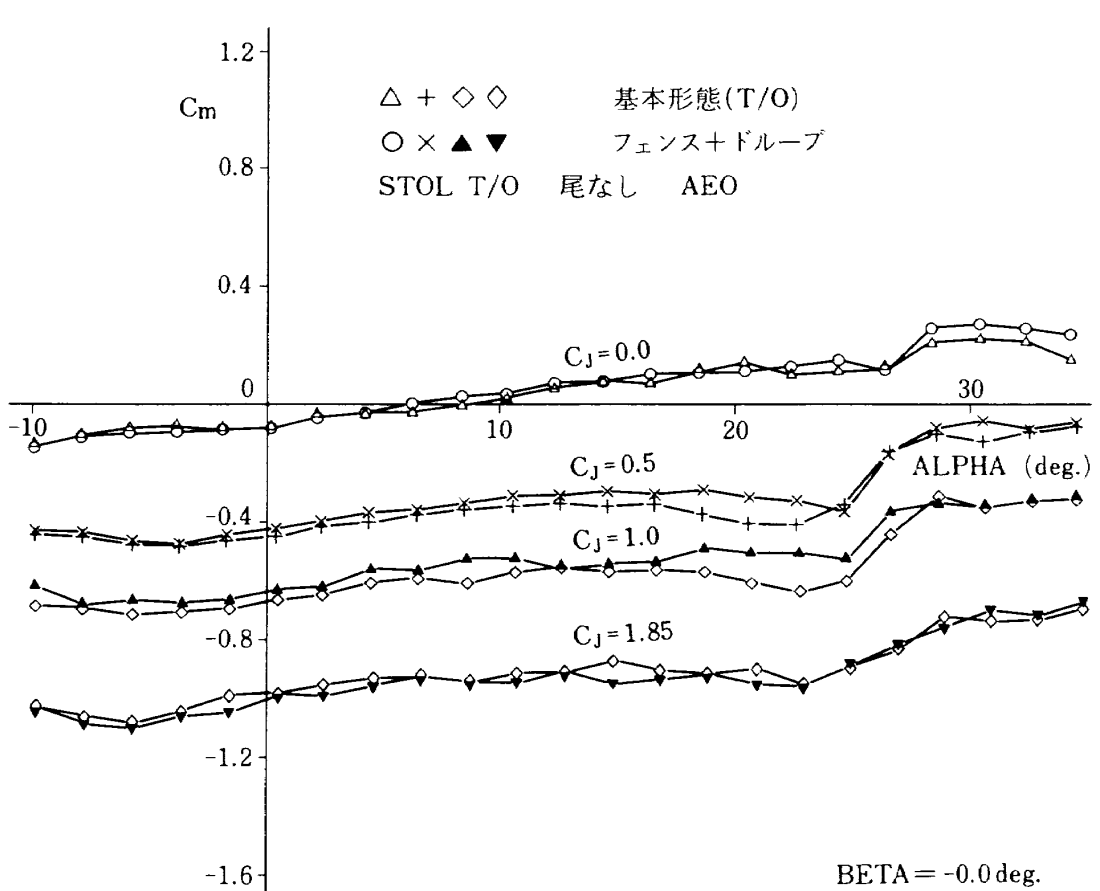
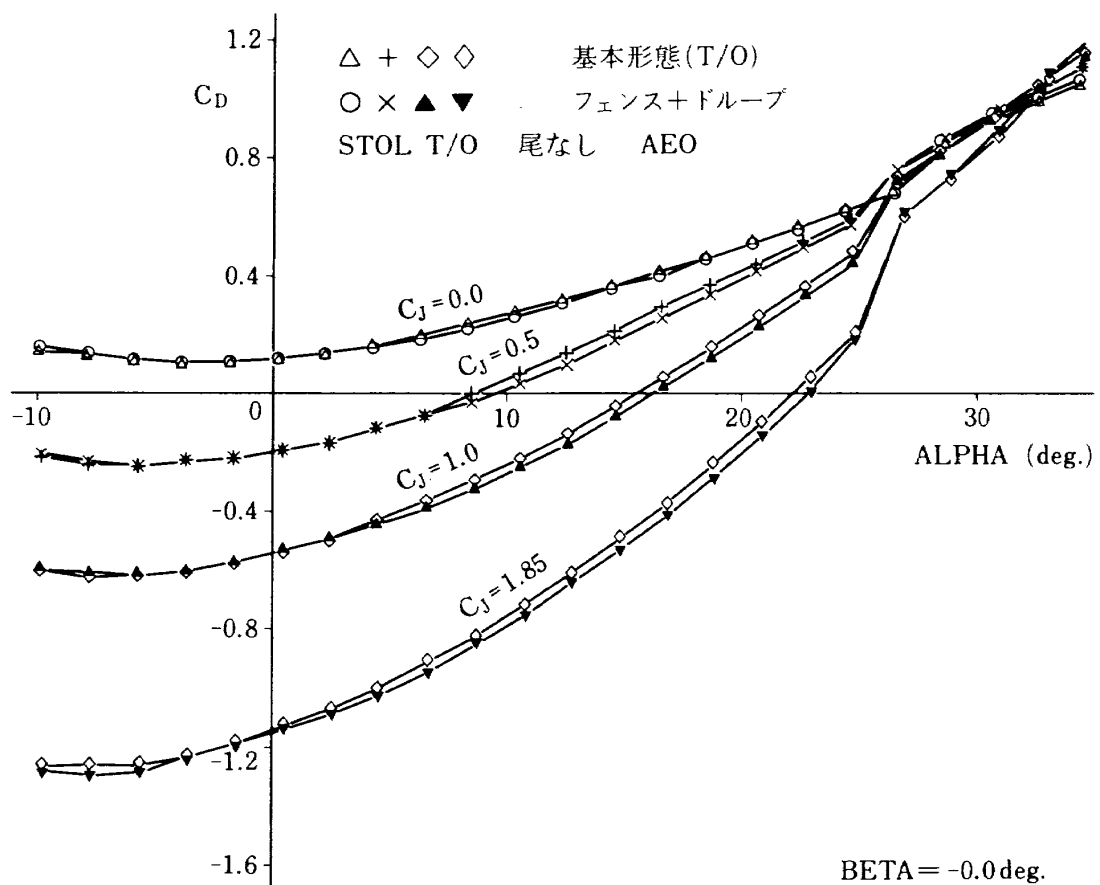
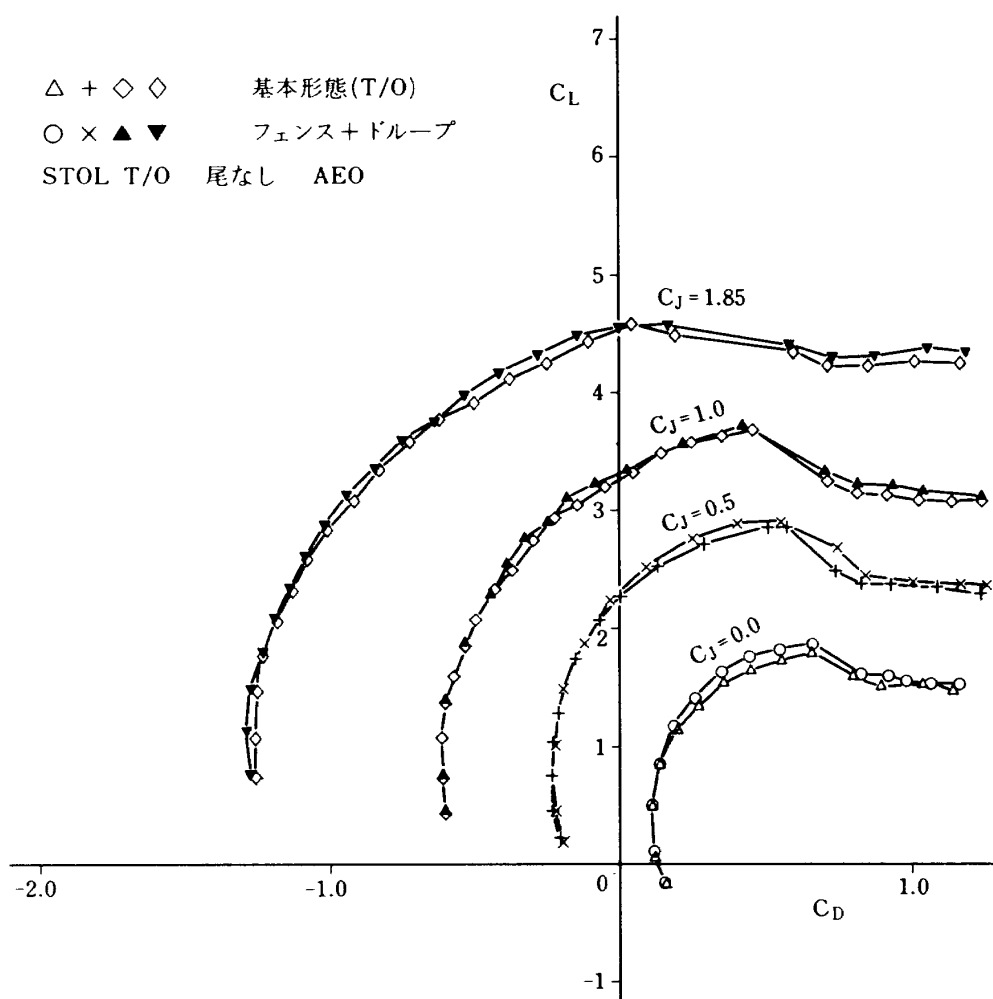
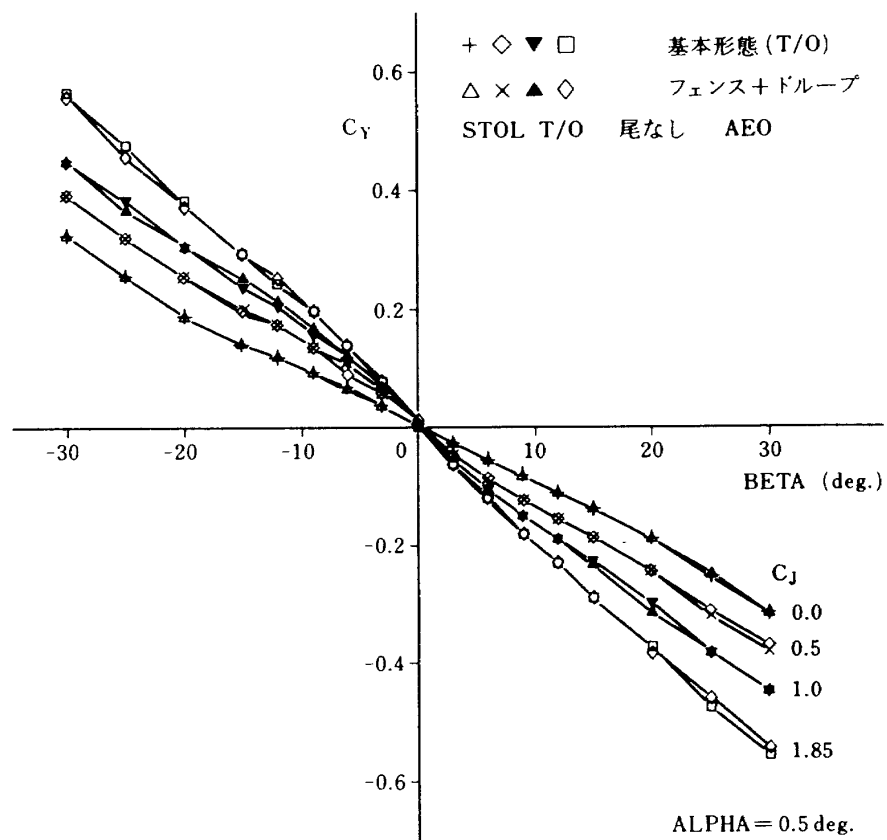
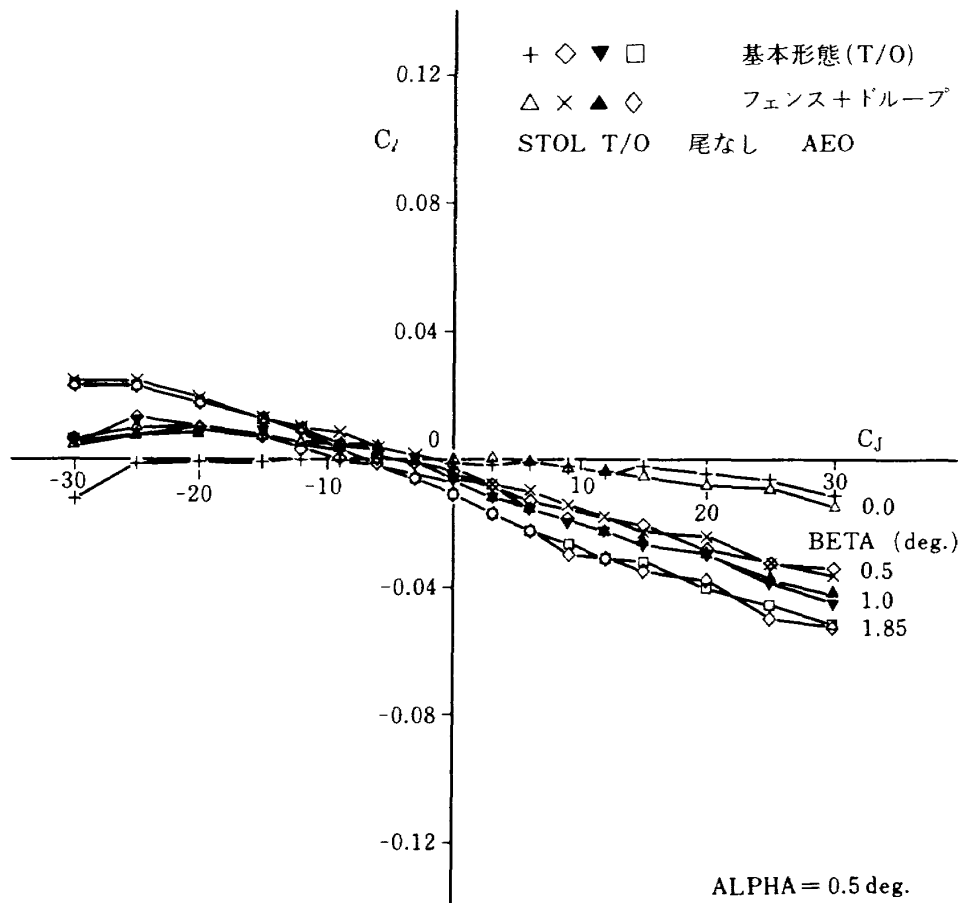
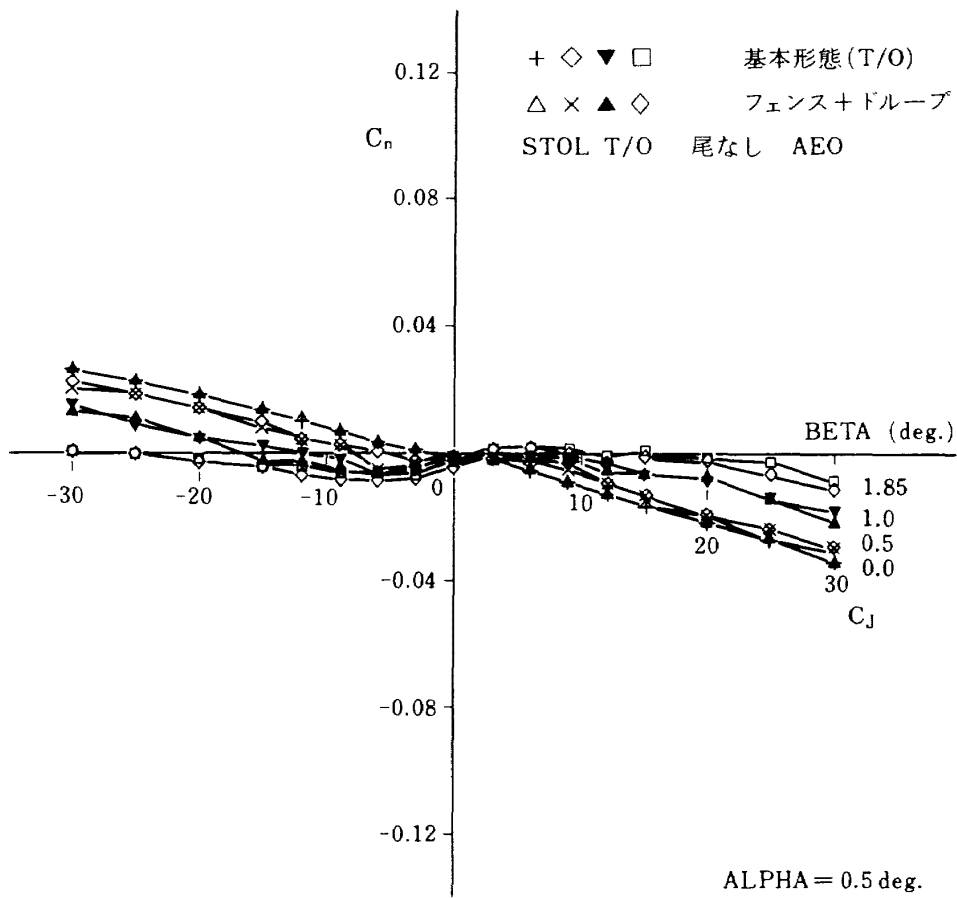
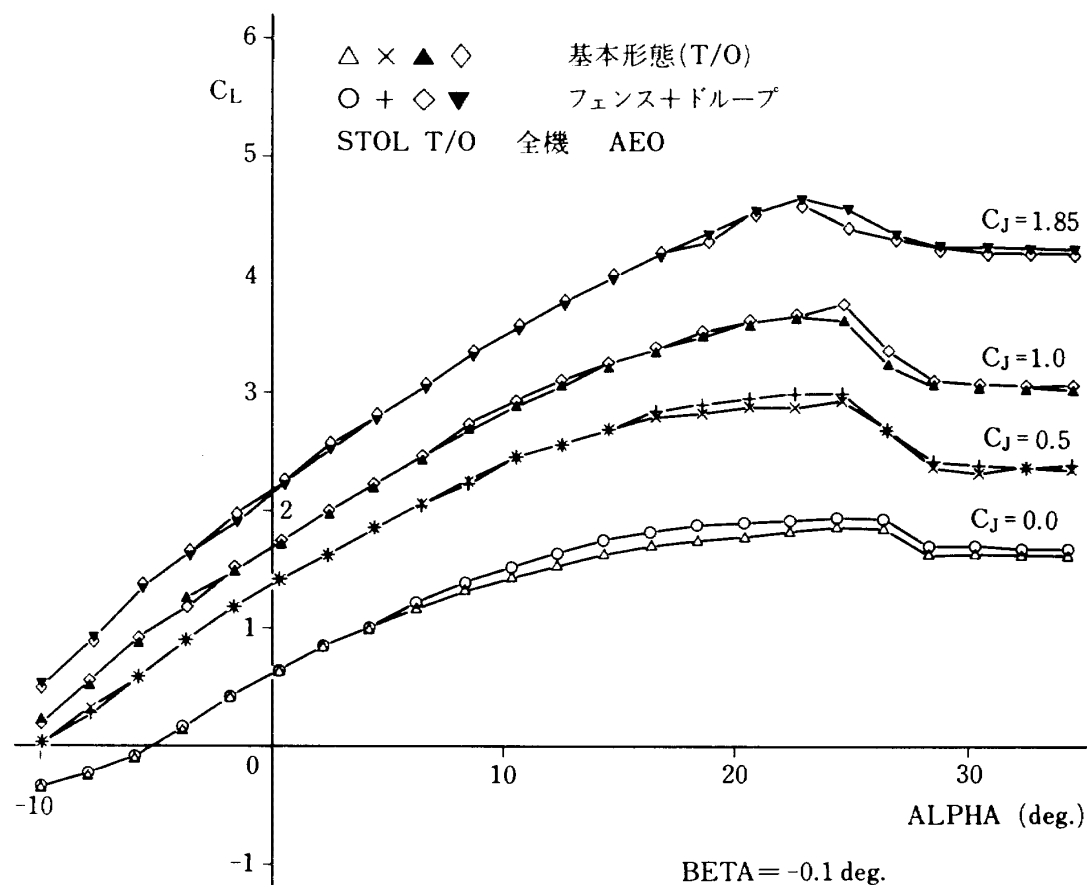
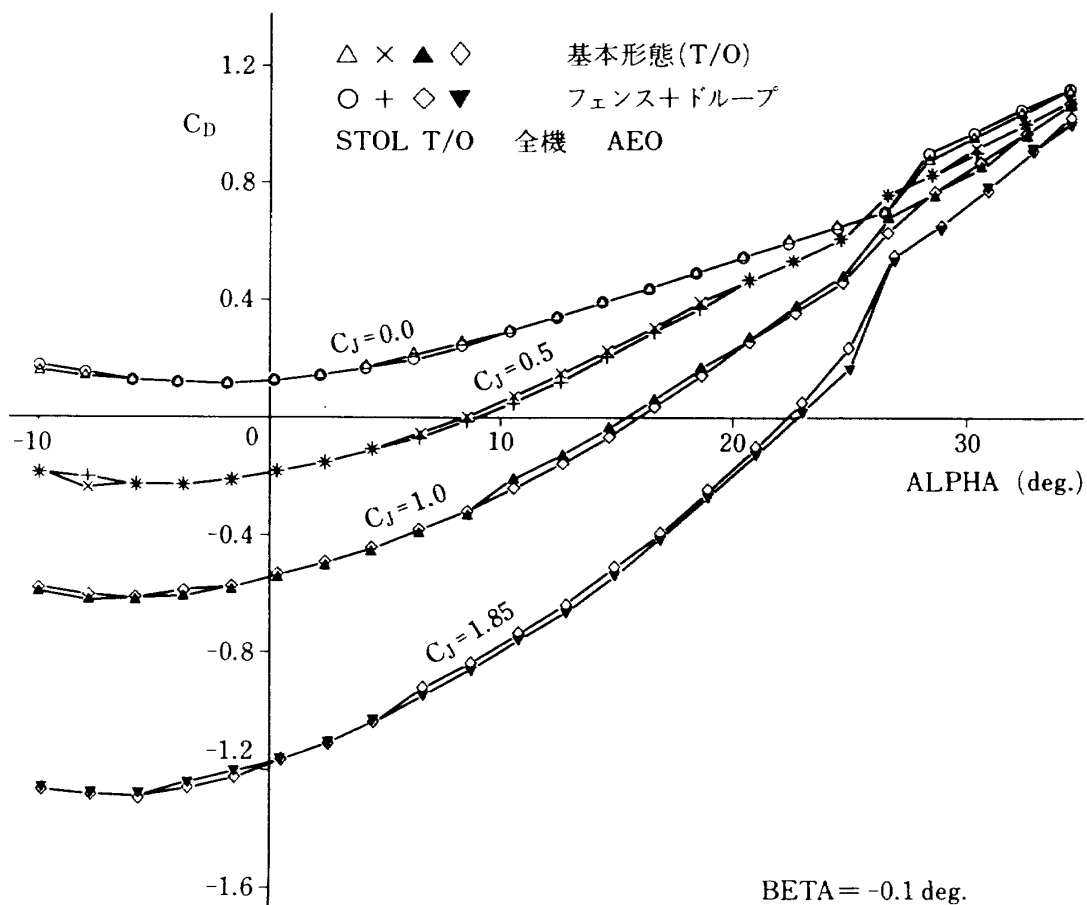


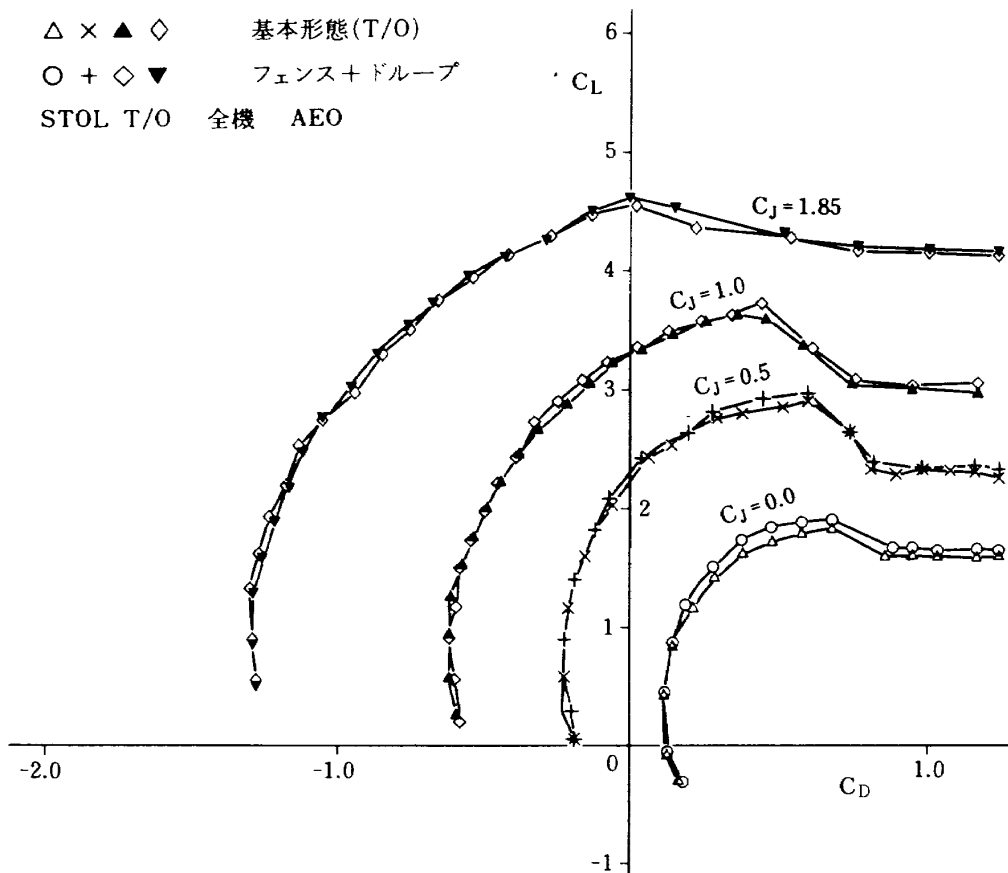
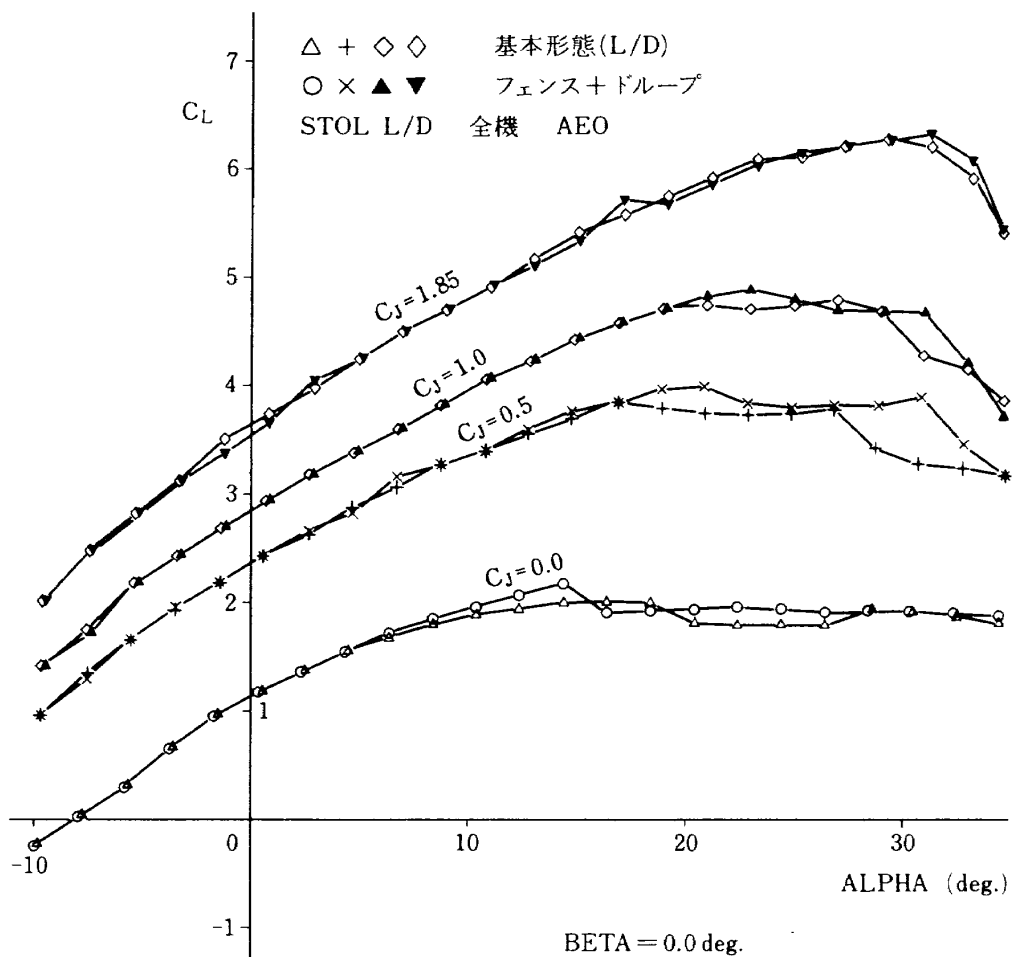
図25 (a)  $C_L \sim \alpha$  (STOL T/O)

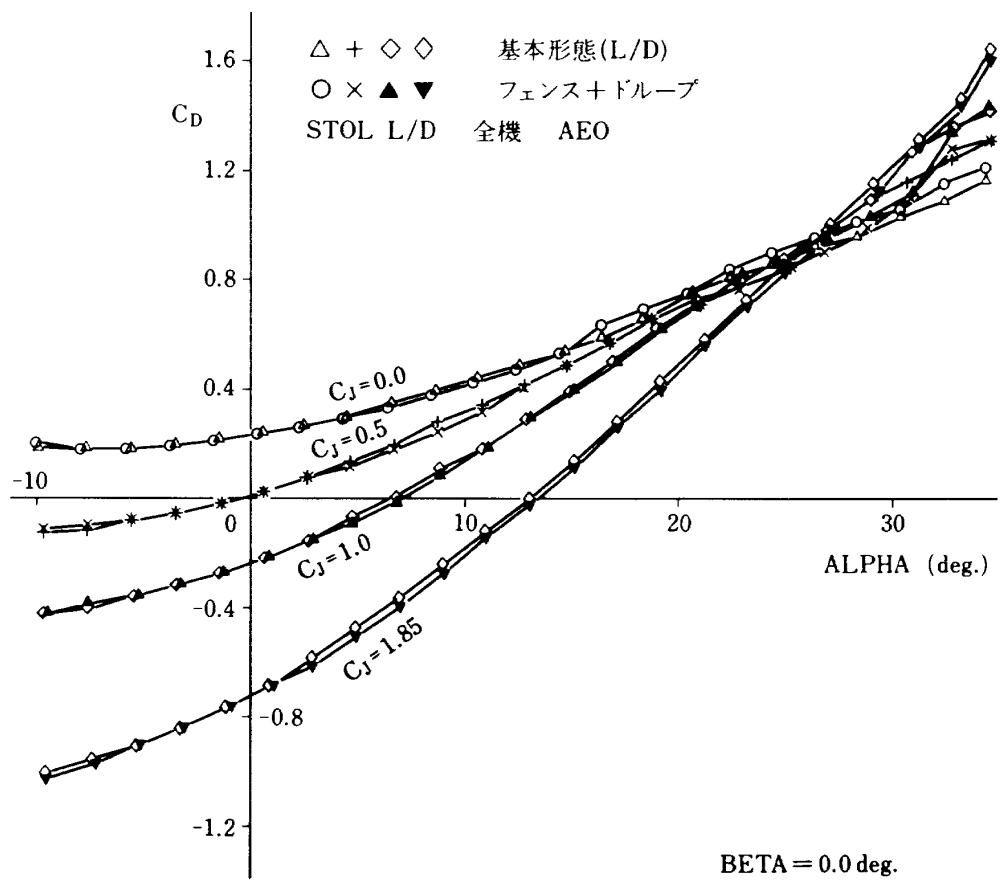
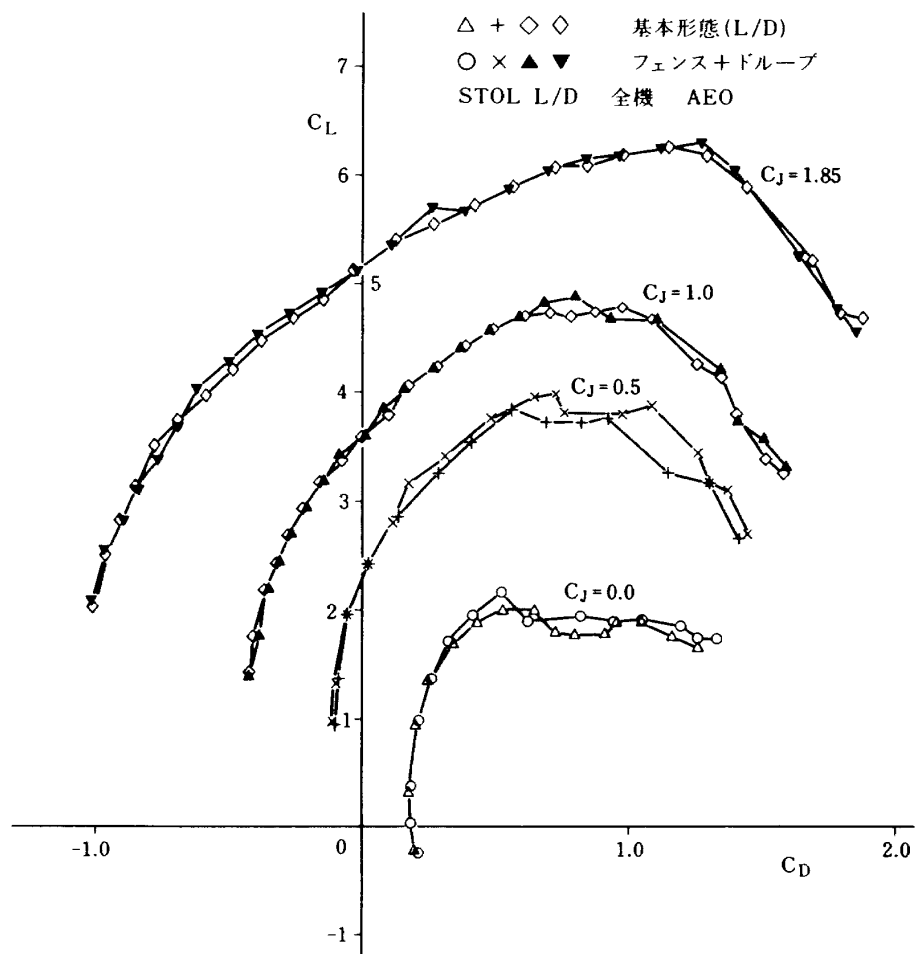


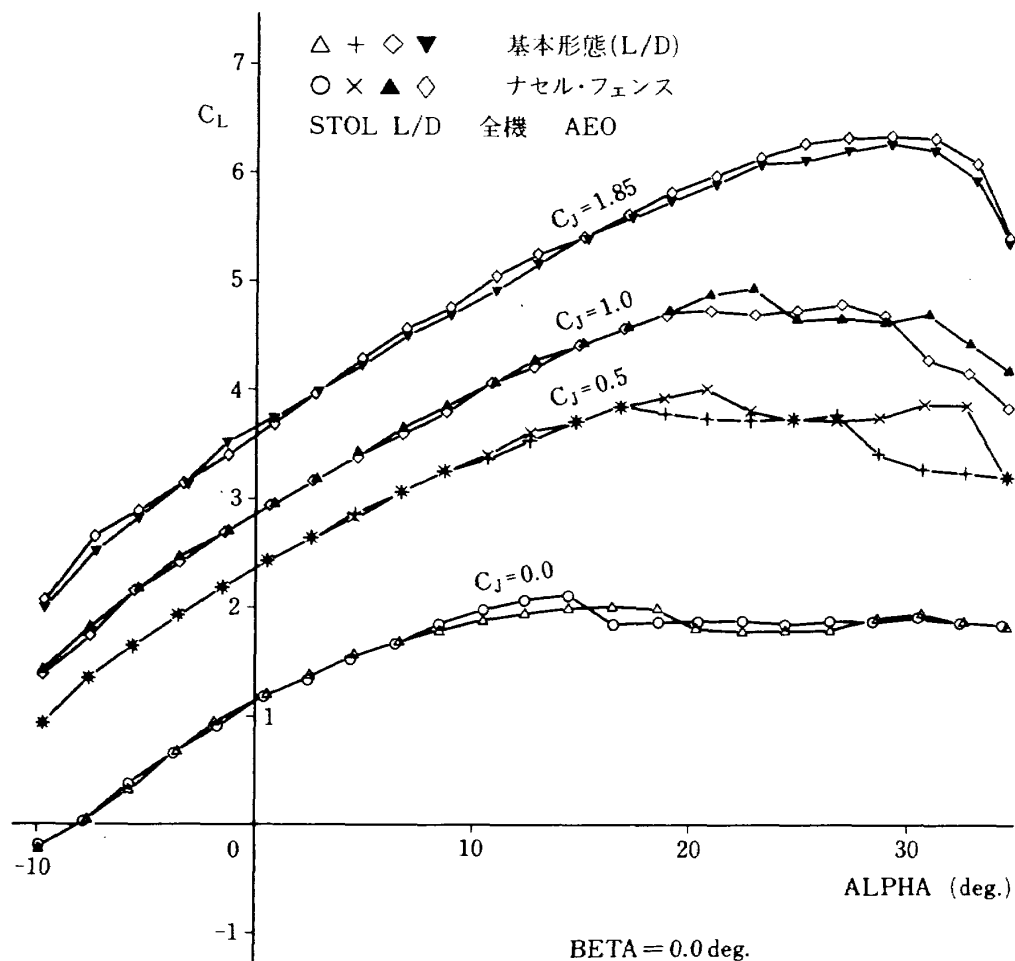
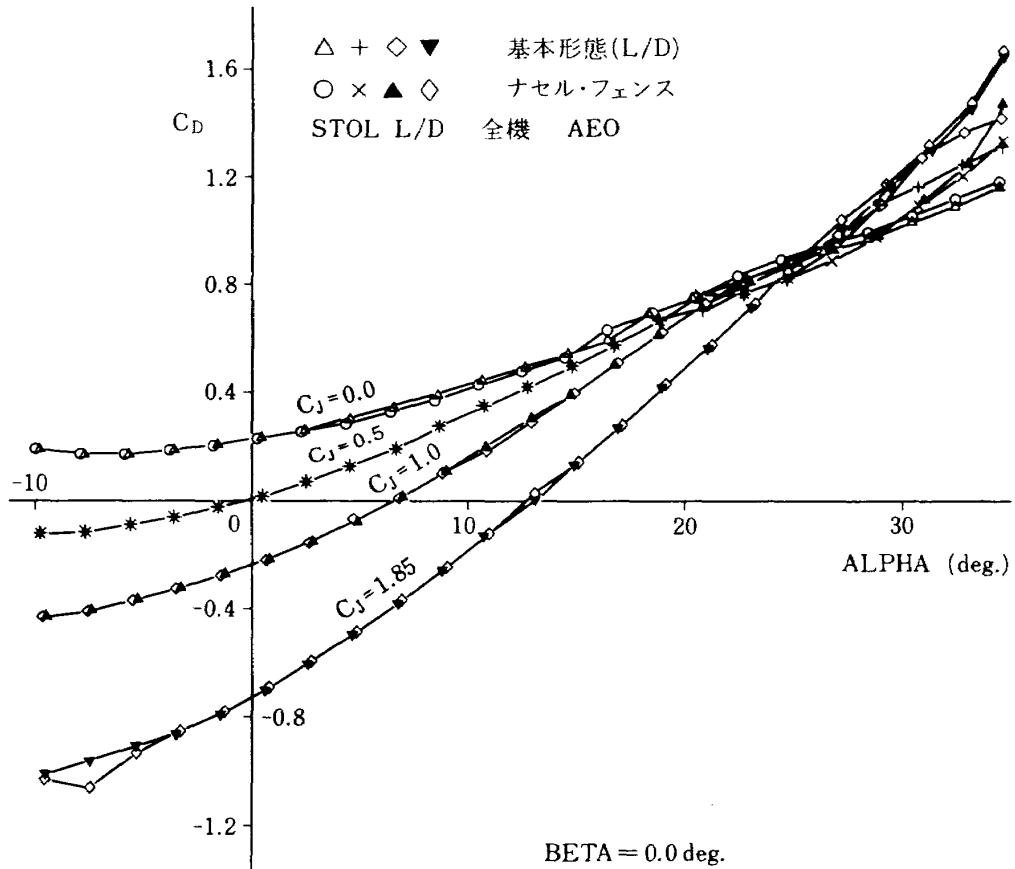
図 25 (d)  $C_L \sim C_D$  (STOL T/O)図 25 (e)  $C_Y \sim \beta$  (STOL T/O)

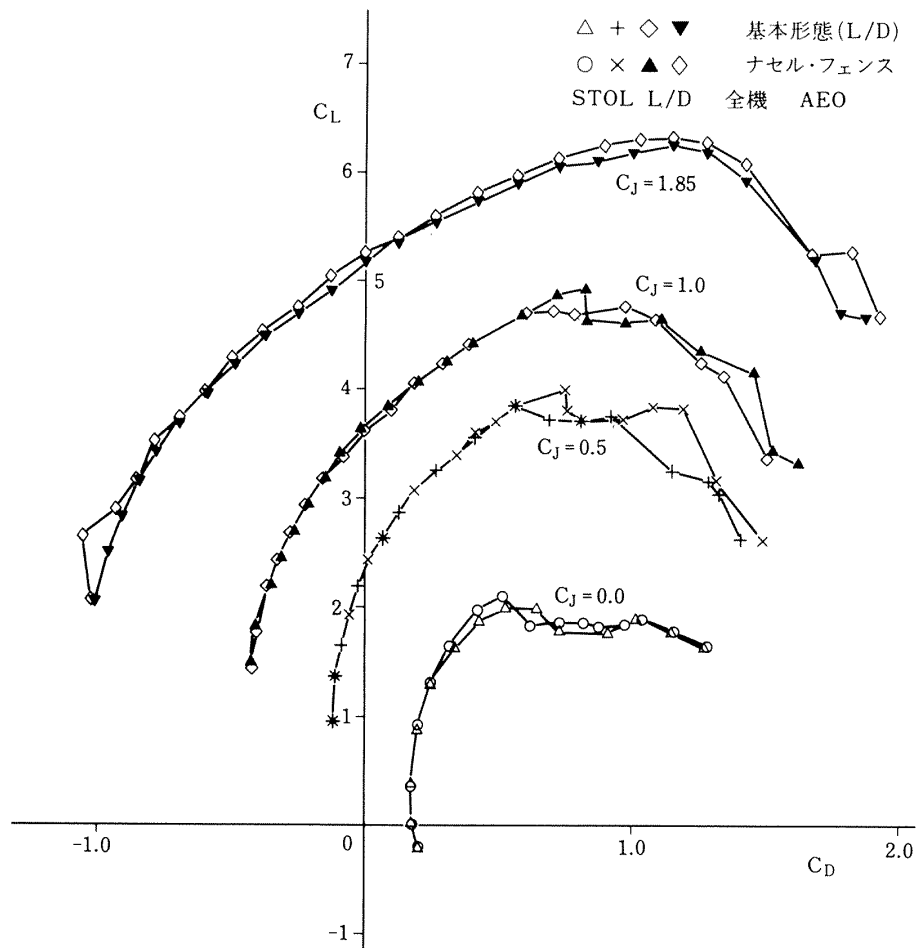
図25 (f)  $C_l \sim \beta$  (STOL T/O)図25 (g)  $C_n \sim \beta$  (STOL T/O)

図 26 (a)  $C_L \sim \alpha$  (STOL T/O)図 26 (b)  $C_D \sim \alpha$  (STOL T/O)

図 26 (c)  $C_L \sim C_D$  (STOL T/O)図 27 (a)  $C_L \sim \alpha$  (STOL L/D)

図 27 (b)  $C_D \sim \alpha$  (STOL L/D)図 27 (c)  $C_L \sim C_D$  (STOL L/D)

図 28 (a)  $C_L \sim \alpha$  (STOL L/D)図 28 (b)  $C_D \sim \alpha$  (STOL L/D)

図 28 (c)  $C_L \sim C_D$  (STOL L/D)

ど差は生じていない。

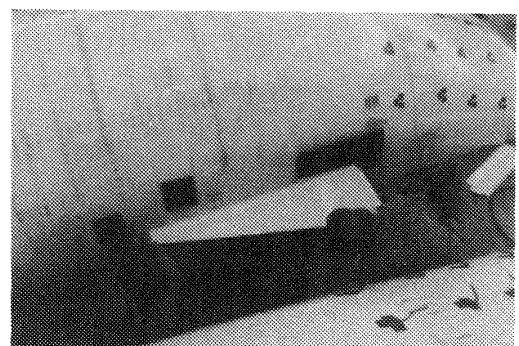
#### 6.4 飛行試験

風洞試験で確認されたナセル・フェンス及び前縁ドループを実機形状に設計、製作し飛行試験でその効果を確認した。

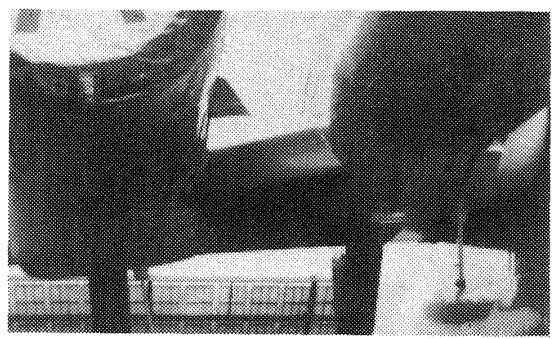
図29(a)はナセル・フェンスを「飛鳥」のエンジン・ナセル側面に取り付けている様子を示す。また、図29(b)は「飛鳥」に取り付けられた前縁ドループ・ノーズである。

バフェット対策として採用されたナセル・フェンスの装着前後の振動Gの変化を飛行試験結果に基づき、図30、図31に示す。試験形態はSTOL T/O形態で、AEO (T/Oパワー) 及びOEI (T/Oパワー)についての $\alpha$ スイープ試験での時歴である。図中F 205はフライト・ナンバー205を表わす。

これら結果から、ナセル・フェンスを装着すると、

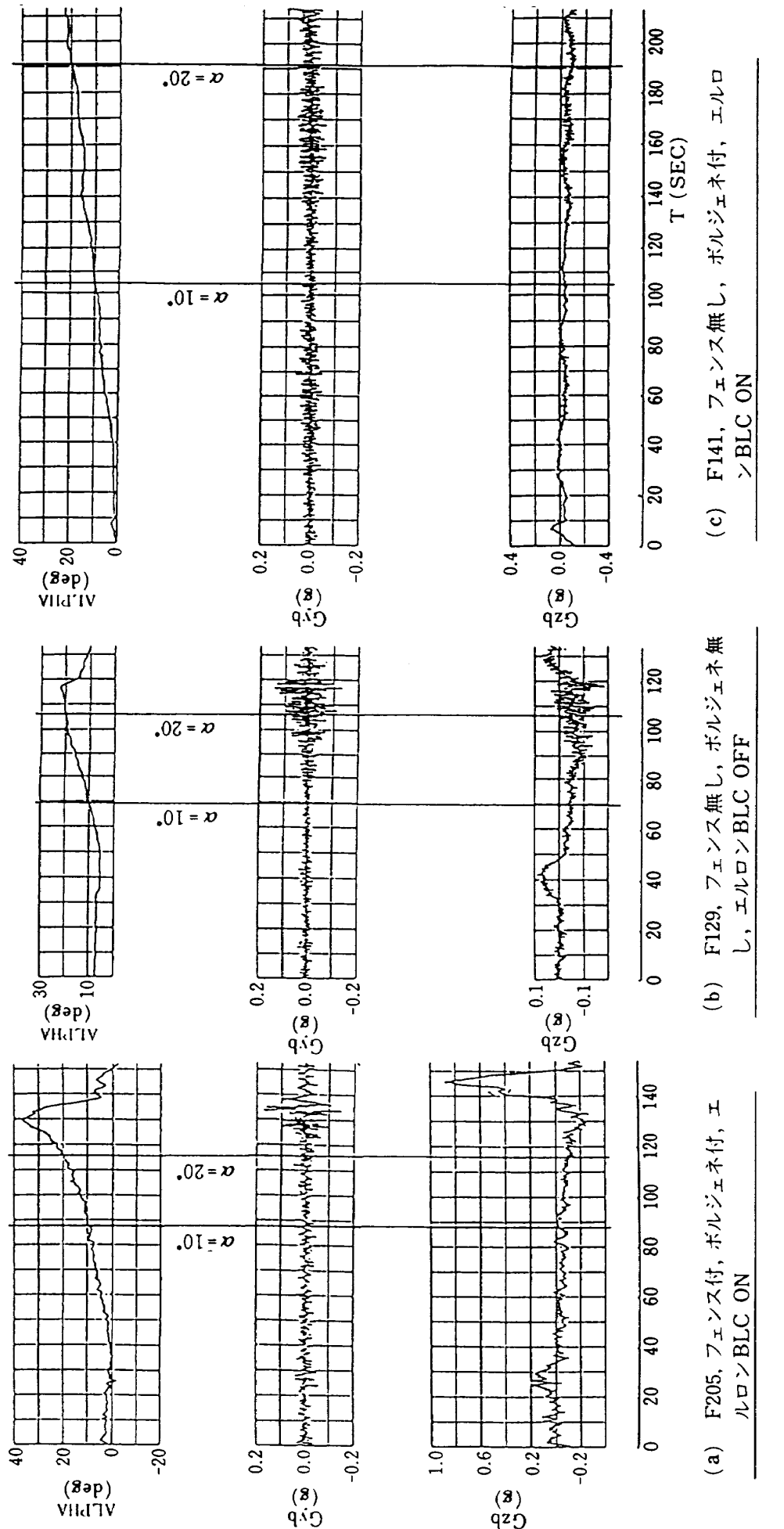


(a) ナセル・フェンス



(b) 前縁ドループ・ノーズ

図29 実機「飛鳥」に装着した状態

図 30 STOL T/O, AEO,  $\alpha = 10^\circ$ 時の振動比較, T/O パワー

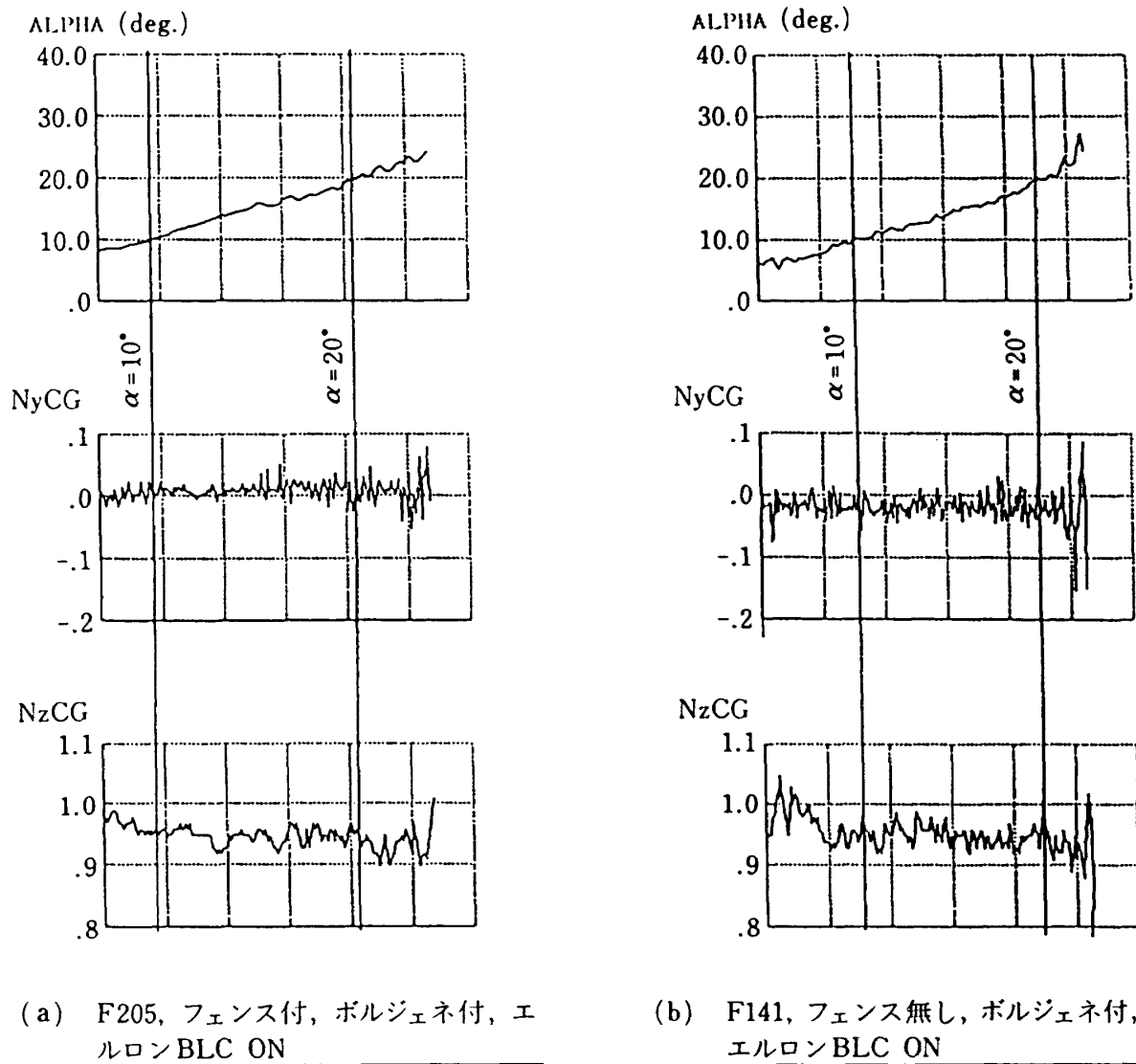


図31 STOL T/O, OEI,  $\alpha$ スイープ時の振動比較, T/Oパワー

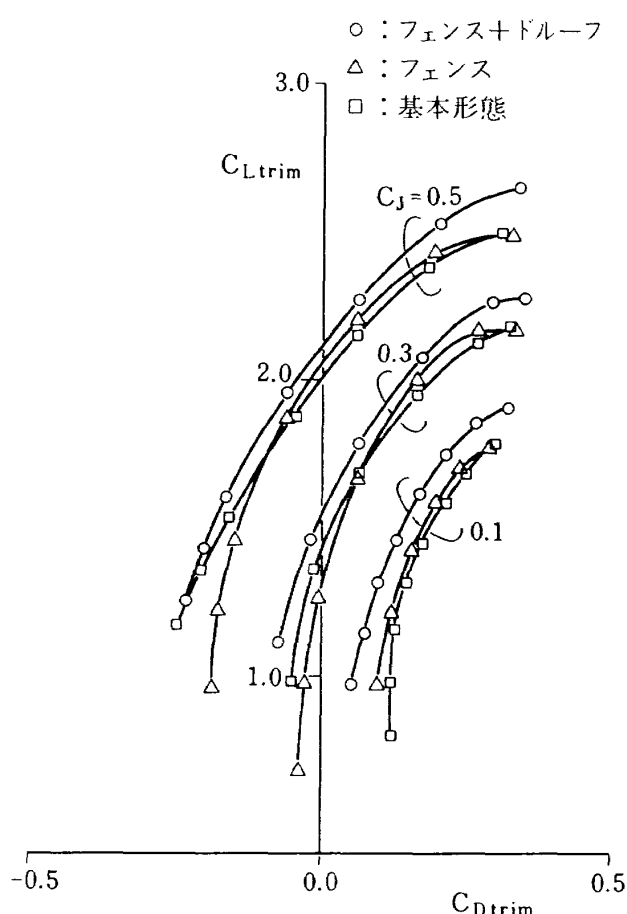
- (1) 同じ  $\alpha$ で比較すると,  $G_y$  (左右方向加速度) が減少する。
  - (2) 減速率がほぼ同じケース(図30のF205とF129, 図31のF205とF141)で時間軸方向の密度が減っている。
- 従って、ナセル・フェンスはバフェット・オンセットを遅らせ、振動の頻度を減少させる効果があり、当初の目的を達している。

風洞試験から得られたナセル・フェンス及びドループ・ノーズを実機用に設計、製作し「飛鳥」に装着してこれらの効果を飛行試験で実際に確認した。図32にSTOL T/O, OEI模擬の、図33にSTOL L/D, AEOでの揚抗特性を示す。また、表5に  $C_L$  及び  $C_D$  についての比較のまとめを示す。これら図表から、形態あるいは  $C_J$  により多少の

ばらつきはあるが、概ね、 $C_L$  は同一の  $\alpha$  で比べた場合、0.1程度増大する。また、 $C_D$  は同一の  $\alpha$  で比べた場合、差はないかあるいは増大する場合もあるが、同一の  $C_L$  で比べた場合、0.03~0.05程度減少する。このことから、ナセル・フェンス及びドループ・ノーズを装着することにより揚抗特性が改善されることが実証された。

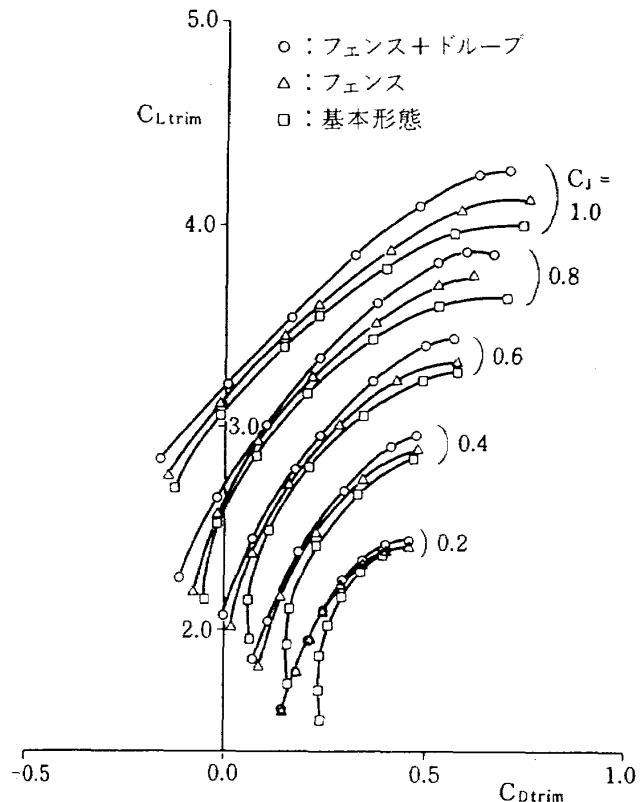
## 7. むすび

STOL 実験機「飛鳥」の  $\alpha$ スイープ試験において、早すぎるバフェットと機体の振動が生じ、飛行試験を更に遂行する上で何らかの対策を立てる必要が起った。そこで著者らはこの問題を解決すべく、バフェット対策風試と称する風洞試験を実施した。

図32  $C_L \sim C_D$  (STOL T/O, OEI模擬)

その結果、ナセル側面に三角形のフェンスを、またナセル間にドループ・ノーズを取り付けることにより解決可能であることを確認し、その結果を実機飛行試験に反映させるべく実機用ナセル・フェンス及びドループ・ノーズの設計を行った。

飛行試験の結果から、ナセル・フェンスとドループ・ノーズを装着すると揚力の増加が得られることが判り、全体的に風試と飛行試験結果の傾向は良く一致しており、揚抗曲線から性能は向上していることが判った。また、機体振動の測定結果から判断すると、ナセル・フェンスはバフェット・オンセッタを遅らせ、振動の頻度を減少させる効果があることが判り、より高い迎角までの $\alpha$ スイープ試験が安全に遂行できるようになった。

図33  $C_L \sim C_D$  (STOL L/D, AEO)

## 参考文献

- 1) 中谷輝臣, 高橋伴, 内川五十六, 他8名; STOL全機風試用空気継手の機能試験, 第26回飛行機シンポジウム前刷り, 1988
- 2) 伊庭剛二, 高橋伴, 中谷輝臣, 他3名; 高圧空気で作動する模擬エンジン用空気軸受け継手の開発, 昭和63年度精密工学会秋季大会学術講演会前刷り, 1988
- 3) STOLプロジェクト推進本部; 低騒音STOL実験機の基本設計, NAL TM-452, 1981
- 4) STOLプロジェクト推進本部空力技術開発チーム; ファンジェットSTOL実験機模型の地面効果試験, NAL TR-828, 1984
- 5) 高橋伴, 中谷輝臣, 井上隆; STOL全機模型風洞試験(配管干渉除去装置効果), 第27回飛行機シンポジウム前刷り, 1989

表 1 対策効果一覧表

対策名	対策内容	$C_J$	水平逆翼端 ( $A_l$ ) 振動加速度 $G$ への効果		縦3分力への効果
			$G$ の立ち上がる $\alpha$	立ち上がり後の $G$ の大きさ等	
対策 1	ナセル内側小フェンス	0.0, 0.5 $C_J = 0.0$ で無対策 ( $6^\circ$ ) に比べ $2^\circ$ 遅れる。 $C_J = 0.5$ で無対策 ( $12^\circ$ ) に比べ $3^\circ$ 遅れる。	無対策に比べ減少する。	・無対策に比べ $C_{L\max}$ が大きくなる。 ・ $C_D$ はほとんど変化なし。 ・ $C_m$ は頭上げ側にシフトする が $\alpha_2$ は変化なし。	・無対策に比べ、 $C_{L\max}$ , $\alpha_{\max}$ ともに増大する。対策 1 より効果大。 ・無対策に比べ、 $C_J = 0.0, 0.5$ とも、 $C_D$ は減少する。 ・対策 1 と $C_m$ の値は変わらないが $\alpha_2$ が $2^\circ$ のびる。
	ナセル内側小フェンス + ドループ・ノーズ	0.0, 0.5 対策 1 と変わらず。	$C_J = 0.0, 0.5$ とも、 対策 1 よりもさらに減少する。	・ $C_{L\max}$ とともに増大する。対策 1 より効果大。 ・無対策に比べ、 $C_J = 0.0, 0.5$ とも、 $C_D$ は減少する。 ・対策 1 と $C_m$ の値は変わらないが $\alpha_2$ が $2^\circ$ のびる。	
対策 2	ナセル内側小フェンス + ドループ・ノーズ	0.0, 0.5	"	・ $C_{L\max}$ とほぼ同じだが、 $\alpha_{\max}$ 後、 急減する傾向がある。 ・ $C_D, C_m$ は対策 2 と変わらない。	・ $C_L$ は対策 2 とほぼ同じだが、 $\alpha_{\max}$ 後、 急減する傾向がある。 ・ $C_D, C_m$ は対策 2 と変わらない。
	ナセル内側小フェンス + ドループ・ノーズ + 背面後方フェンス	0.0, 0.5	"	・ $C_{L\max}$ とほぼ同じだが、 $\alpha_{\max}$ 後、 急減する傾向がある。 ・ $C_D, C_m$ は対策 2 と変わらない。	
対策 3	ナセル内側小フェンス + ドループ・ノーズ + 背面前方フェンス	0.0, 0.5	"	・ $C_{L\max}$ とほぼ同じだが、 $\alpha_{\max}$ 後、 急減する傾向がある。 ・ $C_D, C_m$ は対策 2 と変わらない。	・ $C_L$ は対策 2 とほぼ同じだが、 $\alpha_{\max}$ 後、 急減する傾向がある。 ・ $C_D, C_m$ は対策 2 と変わらない。
	ナセル内側小フェンス + ドループ・ノーズ + 背面大フェンス	0.0, 0.5	"	・ $C_{L\max}$ とほぼ同じだが、 $\alpha_{\max}$ 後、 急減する傾向がある。	
対策 4	ナセル内側小フェンス + ドループ・ノーズ + 背面前方フェンス	0.0, 0.5	"	・ $C_{L\max}$ とほぼ同じだが、 $\alpha_{\max}$ 後、 急減する傾向がある。	・ $C_L, C_D, C_m$ とも対策 3 と変わらない。
	ナセル内側小フェンス + ドループ・ノーズ + 背面大フェンス	0.0, 0.5	"	・ $C_{L\max}$ とほぼ同じだが、 $\alpha_{\max}$ 後、 急減する傾向がある。	
対策 5	ナセル内側小フェンス + ドループ・ノーズ + 背面大フェンス	0.0, 0.5	"	・ $C_{L\max}$ とほぼ同じだが、 $\alpha_{\max}$ 後、 急減する傾向がある。	・ $C_L, C_D, C_m$ とも対策 3 と変わらない。
	ナセル内側小フェンス + ドループ・ノーズ + 背面ボルジエネ + 外ナセル外側小フェンス	0.0	"	・ $C_{L\max}$ とほぼ同じだが、 $\alpha_{\max}$ 後、 急減する傾向がある。	
対策 6	ナセル内側小フェンス + ドループ・ノーズ + 背面ボルジエネ + 外ナセル外側小フェンス	0.0	"	・ $C_{L\max}$ とほぼ同じだが、 $\alpha_{\max}$ 後、 急減する傾向がある。	・ $C_L, C_D, C_m$ とも対策 3 と変わらない。
	ナセル内側小フェンス 5mm 下げ + ドループ・ノーズ + 背面ボルジエネ + 外ナセル外側小フェンス	0.0	"	・ $C_{L\max}$ とほぼ同じだが、 $\alpha_{\max}$ 後、 急減する傾向がある。	
対策 7	内ナセル内側大フェンス + ドループ・ノーズ + 背面ボルジエネ + 外ナセル外側小フェンス	0.0	"	・ $C_{L\max}$ とほぼ同じだが、 $\alpha_{\max}$ 後、 急減する傾向がある。	・ $C_L, C_D, C_m$ とも対策 3 と変わらない。
	内ナセル内側大フェンス + ドループ・ノーズ + 背面ボルジエネ + 外ナセル内外側小フェンス	0.0	"	・ $C_{L\max}$ とほぼ同じだが、 $\alpha_{\max}$ 後、 急減する傾向がある。	
対策 8	内ナセル内側大フェンス + ドループ・ノーズ + 外ナセル内外側小フェンス	0.0	"	・ $C_{L\max}$ とほぼ同じだが、 $\alpha_{\max}$ 後、 急減する傾向がある。	・ $C_L, C_D, C_m$ とも対策 3 と変わらない。
	内ナセル内側大フェンス + ドループ・ノーズ + 外ナセル内外側小フェンス	0.0, 0.5	"	・ $C_{L\max}$ とほぼ同じだが、 $\alpha_{\max}$ 後、 急減する傾向がある。	
対策 9	内ナセル内側大フェンス + ドループ・ノーズ + 外ナセル内外側小フェンス	0.0, 0.5	"	・ $C_{L\max}$ とほぼ同じだが、 $\alpha_{\max}$ 後、 急減する傾向がある。	・ $C_L, C_D, C_m$ とも対策 3 と変わらない。
	内ナセル内側大フェンス + ドループ・ノーズ + 外ナセル内外側小フェンス	0.0, 0.5	"	・ $C_{L\max}$ とほぼ同じだが、 $\alpha_{\max}$ 後、 急減する傾向がある。	

表 2(a) ナセル・フェンス + ドループ・ノーズ効果(STOL T/O),  $\alpha$  スイープ

形態 系数	STOL離陸形態 AEO尾なし	STOL離陸形態 AEO全機	STOL離陸形態 OEI尾なし	STOL離陸形態 OEI全機
$C_L$	$C_J = 0: 10^\circ < \alpha$ で, フェンス + ドループの $C_L$ が $\Delta C_L = 0.1$ 程度大。 $C_J = 0.5: 16^\circ < \alpha$ で, フェンス + ドループの $C_L$ が $\Delta C_L = 0.08$ 程度大。 $C_J = 1.0, 1.85: C_L$ 最大の $\alpha$ 以後, フェンス + ドループの $C_L$ が $\Delta C_L = 0.08$ 程度大。	$C_J = 0: 8^\circ < \alpha$ でフェンス + ドループの $C_L$ が $\Delta C_L = 0.1$ 程度大。 $C_J = 0.5: 16^\circ < \alpha$ でフェンス + ドループの $C_L$ が $\Delta C_L = 0.08$ 程度大。 $C_J = 1.0, 1.85: C_L$ 最大の $\alpha$ から $4^\circ$ 程度の間で, フェンス + ドループの $C_L$ が $\Delta C_L = 0.1$ 程度大。	差なし。	$C_J = 0.5: 10^\circ < \alpha$ で, フェンス + ドループの $C_L$ が $\Delta C_L = 0.08$ 程度大。 $C_J = 1.0: \Delta C_L = 0.04$ 程度。 $6^\circ < \alpha < 22^\circ$ で $\Delta C_L = 0.04$ 程度, $24^\circ < \alpha$ で $0.08$ 程度大。 $C_J = 1.85: C_L$ 最大の $\alpha$ 以後で, フェンス + ドループの $C_L$ が $\Delta C_L = 0.08$ 程度大。
$C_D$	全体にフェンス + ドループの $C_D$ が小。 $C_J = 0: \Delta C_D = -0.02$ 程度。 $C_J = 0.5, 1.0, 1.85: \Delta C_D = -0.04$ 程度。	$C_J = 0: \Delta C_D = -0.03$ 程度。 $C_J = 0.5, 1.0, 1.85: \Delta C_D = -0.02$ 程度。	全体に, フェンス + ドループの $C_D$ が小。 $\Delta C_D = -0.03$ 程度。	全体にフェンス + ドループの $C_D$ が小。 $C_J = 0.5: \Delta C_D = -0.02$ $C_J = 1.0: \Delta C_D = -0.03$ $C_J = 1.85: \Delta C_D = -0.04$
$C_m$	$C_J = 1.85$ 以外ではフェンス + ドループの $C_m$ が頭上げ側。 $C_J = 0.0: \Delta C_m = 0.02$ 程度。 $C_J = 0.5, 1.0: \Delta C_m = 0.04$ 程度。	全体に, フェンス + ドループの $C_m$ が頭上げ側。 $\Delta C_m = 0.04 \sim 0.08$ 程度。	$C_J = 1.0$ 以外は大差なし。 $C_J = 1.0: \Delta C_m = -0.04 \sim -0.08$ 程度。	全体に, フェンス + ドループが頭上げ側。 $\alpha = 0^\circ$ で比較すると。 $C_J = 0.5: \Delta C_m = 0.04$ $C_J = 1.0: \Delta C_m = 0.1$ $C_J = 1.85: \Delta C_m = 0.14$
$C_r$	差なし。	差なし。	差なし。	差なし。
$C_l$	差なし。	差なし。	差なし。	差なし。
$C_n$	差なし。	差なし。	差なし。	差なし。

表 2 (b) ナセル・フェンス+ドループ・ノーズ効果(STOL T/O),  $\beta$  スイープ

形態 係数	STOL離陸形態 AEO[差なし]	STOL離陸形態 AEO全機	STOL離陸形態 OEI[差なし]	STOL離陸形態 OEI全機
$C_L$	差なし。	差なし。	差なし。	差なし。
$C_D$	差なし。	差なし。	差なし。	差なし。
$C_m$	差なし。	差なし。	差なし。 全体にフェンス+ドループの $C_m$ が頭上げ側。 $C_J = 0.5, 1.0 : \Delta C_m = 0.06$ $C_J = 1.85 : \Delta C_m = 0.12$	差なし。
$C_Y$	差なし。	差なし。	差なし。	差なし。
$C_I$	差なし。	差なし。	差なし。 $0^\circ < \beta$ でフェンス+ドループの $ C_I $ が大。 $ \Delta C_I  = 0.008$ 程度。	差なし。
$C_n$	差なし。	差なし。	差なし。	差なし。

表 3(a) ナセル・フェンス + ドループ・ノーズ効果 (STOL L/D),  $\alpha$  スイープ

形態 係数	STOL 着陸形態 AEO 尾なし	STOL 着陸形態 AEO 全機	STOL 着陸形態 OEI 尾なし	STOL 着陸形態 OEI 全機
$C_L$	全体に $8^\circ < \alpha$ でフェンス + ドループの $C_L$ 大。 $\Delta C_L = 0.05 \sim 0.1$ 程度。 $C_J = 0$ では、 $C_L$ 最大になる $\alpha$ が、フェンス + ドループの方が $4^\circ$ 小さい。 $C_J = 0.5, 1.0$ では、 $C_L$ 最大になる $\alpha$ は、フェンス + ドループが $4^\circ$ 大きい。	全体に、 $C_L$ 最大付近で、フェンス + ドループの $C_L$ が、 $\Delta C_L = 0.1 \sim 0.2$ 程度大。 $C_J = 0$ では、 $C_L$ 最大値はフェンス + ドループが大だが、 $C_L$ 最大になる $\alpha$ は $4^\circ$ 小さい。	$\alpha < 8^\circ$ では、フェンス + ドループの $C_L$ 小。 $\Delta C_L = -0.05$ 程度。 $C_J = 1.0, 1.85$ では、 $10^\circ < \alpha < (C_L$ 最大の $\alpha$ ) で $C_L$ 小。 $\Delta C_L = -0.05$ 程度。 $C_L$ 最大の $\alpha$ 以後はフェンス + ドループの $C_L$ 大。 $\Delta C_L = 0.1 \sim 0.15$ 程度。	$0^\circ < \alpha$ で、フェンス + ドループの $C_L$ が大。 $\Delta C_L = 0.1 \sim 0.15$ 程度。
$C_D$	$C_J = 0, 0.5$ で、フェンス + ドループの $C_D$ 小。 $C_D$ 小。 $\Delta C_D = -0.02$ 程度。 他の $C_J$ では効果なし。	全体に、フェンス + ドループの $C_D$ 小。 $\Delta C_D = -0.02$ 程度。	$0^\circ < \alpha$ で、フェンス + ドループの $C_D$ 減。 $\Delta C_D = -0.02$ 程度。	$C_J = 0.5, 1.0$ では、 $4^\circ < \alpha < 12^\circ$ で、フェンス + ドループの $C_D$ が小。 $\Delta C_D = -0.02$ 程度。
$C_m$	$C_J = 0.5$ 以外 $\alpha_2$ 変化なし。 $(C_J = 0.5$ ではフェンス + ドループの $\alpha_2$ が $4^\circ$ 大きい。) フェンス + ドループの方が頭下げ側。 $\Delta C_m = -0.06$ 程度。	$\alpha_2$ は等しいが、フェンス + ドループの方が $2^\circ \sim 4^\circ$ 大。 全体とフェンス + ドループの $C_m$ が頭下げ側。 $\Delta C_m = -0.04 \sim -0.06$ 程度。	全体にフェンス + ドループの $C_m$ の方が頭下げ側。 $C_J = 0.5 : \Delta C_m = -0.04$ 程度。 $C_J = 1.0 : \Delta C_m = -0.12$ 程度。 $C_J = 1.85 : \Delta C_m = -0.16$ 程度。	全体に、フェンス + ドループの $C_m$ の方が頭下げ側。 $C_J = 0.5 : \Delta C_m = -0.06$ 程度。 $C_J = 1.0 : \Delta C_m = -0.08$ 程度。 $C_J = 1.85 : \Delta C_m = -0.20$ 程度。
$C_y$	差なし。	差なし。	差なし。	全体に、フェンス + ドループの $C_y$ の方が + 側。 $\Delta C_y = 0.02$ 程度。
$C_l$	差なし。	差なし。	差なし。	全体に、フェンス + ドループの $C_l$ の方が - 側。 $C_J = 0.5 : \Delta C_l = -0.002$ 程度。 $C_J = 1.0 : \Delta C_l = -0.006$ 程度。 $C_J = 1.85 : \Delta C_l = -0.010$ 程度。
$C_n$	差なし。	差なし。	差なし。	全体に、フェンス + ドループの $C_n$ の方が + 側。 $\Delta C_n = 0.004$ 程度。 $C_J = 1.85$ では、フェンス + ドループの $C_n$ の方が - 側。 $\Delta C_n = -0.002$ 程度。

表 3(b) ナセル・フェンス + ドループ・ノーズ効果 (STOL L/D),  $\beta$  スイープ

形態 係数	STOL 着陸形態 AEO なし	STOL 着陸形態 AEO 有機	STOL 着陸形態 OEI なし	STOL 着陸形態 OEI 有機
$C_L$	なし。	いかないか、フェンス + ドループの $C_L$ 小。 $C_J = 0$ : 差なし。 $C_J = 0.5$ : $\Delta C_L = -0.03$ 程度。 $C_J = 1.0$ : $\Delta C_L = -0.05$ 程度。 $C_J = 1.85$ : $\Delta C_L = -0.1$ 程度。	なし。	なし。
	なし。	$C_J = 1.0, 1.85$ でフェンス + ドループの $C_D$ 人。 $C_J = 1.0$ : $\Delta C_D = 0.01 K_F$ 程度。 $C_J = 1.85$ : $\Delta C_D = 0.02$ 程度。	$C_J = 0.5, 1.0$ では、フェンス + ドループの $C_D$ の $C_D$ 人。 $C_J = 1.85$ は差なし。	なし。
$C_m$	$C_J = 0.5, 1.0, 1.85 \bar{C}$ , フェンス + ドループの $C_m$ が頭下げ側。 $\Delta C_m = -0.08$ 程度。	$C_J = 0.5$ ではフェンス + ドループの $C_m$ が頭上げ側。 $\Delta C_m = -0.06$ 程度。 $C_J = 1.85$ では、フェンス + ドループの $C_m$ が頭上げ側。 $\Delta C_m = 0.06$ 程度。	$C_J = 0.5$ ではフェンス + ドループの $C_m$ が頭上げ側。 $\Delta C_m = 0.04$ 程度。 $C_J = 1.0$ では、フェンス + ドループの $C_m$ が頭下げ側。 $\Delta C_m = -0.06$ 程度。 $C_J = 1.85$ では、フェンス + ドループの $C_m$ が頭下げ側。 $\Delta C_m = -0.10$ 程度。	全体に、フェンス + ドループの $C_m$ の方が頭下げ側。 $\Delta C_m = -0.06$ 程度。
	$C_J = 1.0$ のみ, $20^\circ <  \beta $ で, フェンス + ドループの $ C_y $ 人。 $ \Delta C_y  = 0.03$ 程度。	なし。	なし。	なし。
$C_l$	$0^\circ < \beta$ で, フェンス + ドループの $ C_l $ が大。 $\Delta C_l = -0.02 \sim -0.04$	$0^\circ < \beta$ で, フェンス + ドループの $ C_l $ が大。 $\Delta C_l = -0.004 \sim -0.006$	全体に, フェンス + ドループの $C_l$ の方が一側。 $\Delta C_l = -0.002 \sim -0.004$ 程度。	全体に, フェンス + ドループの $C_l$ の方が一側。 $C_l = 0.5$ : 差なし。 $C_l = 1.0$ : $\Delta C_l = -0.002$ $C_l = 1.85$ : $\Delta C_l = -0.004$
$C_n$	なし。	なし。	なし。	なし。

表 4(a) ナセル・フェンス効果(STOL L/D),  $\alpha$  スイープ

形態 係数	STOL 着陸形態 AEO 全機	STOL 着陸形態 OEI 全機
$C_L$	$8^\circ < \alpha$ でフェンスの $C_L$ 大。 $\Delta C_L = 0.05 \sim 0.1$ 程度。 $C_J = 0, 0.5, 1.0$ で、 $C_L$ の最大値はフェンス付が大だが $C_L$ 最大の $\alpha$ は $J$ 。(4° 程度)	$C_J = 1.85$ のみ、フェンスの $C_L$ が $J$ 。 $\Delta C_L = -0.1$ 程度。
$C_D$	$C_J = 0$ のみ、 $2^\circ < \alpha < 14^\circ$ でフェンスの $C_D$ 小。 $\Delta C_D = -0.02$ 程度。	$C_J = 1.85$ のみ、フェンスの $C_D$ が大。 $\Delta C_D = 0.01$ 程度。
$C_m$	$C_J = 0.5 : \alpha_2$ は、フェンスが $6^\circ (26^\circ \rightarrow 32^\circ)$ 大。 $C_J = 1.0 : \alpha_2$ は、フェンスが $6^\circ (24^\circ \rightarrow 30^\circ)$ 大。	全体にフェンスの $C_m$ が頭下げ側。 $C_J = 0.5, 1.0 : \Delta C_m = -0.06$ 程度。 $C_J = 1.85 : \Delta C_m = -0.08$ 程度。
$C_r$	差なし。	差なし。
$C_l$	差なし。	全体にフェンスの $C_l$ が一側。 $\Delta C_l = -0.004$ 程度。
$C_n$	差なし。	差なし。

表 4(b) ナセル・フェンス効果 (STOL L/D),  $\beta$  スイープ

形態 係数	STOL 駆降形態 AEO 全機	STOL 駆降形態 OEI 全機
$C_l$	差なし。	$C_J = 1.0, 1.85$ でフェンスの $C_l$ 人。 $\Delta C_l = 0.08$ 程度。
$C_D$	差なし。	差なし。
$C_m$	$15^\circ <  \beta $ でフェンスの $C_m$ の方が頭下側。 $20^\circ <  \beta $ で, $\Delta C_m = -0.006$ 程度。	$C_J = 0.5, 1.0$ では, フェンスの $C_m$ が頭下側。 $\Delta C_m = -0.08$ 程度。 $C_J = 1.85$ は差なし。
$C_v$	差なし。	差なし。
$C_l$	$0^\circ < \beta \leq$ , フェンスの $C_l$ の方が一側。 $\Delta C_l = -0.004 \sim -0.008$ 程度。	$C_J = 0.5, 1.0$ で, フェンスの $C_l$ がい。 $C_J = 0.5 : \Delta C_l = -0.002$ 程度。 $C_J = 1.0 : \Delta C_l = -0.004$ 程度。
$C_n$	差なし。	差なし。

表5 ナセル・フェンス及びドループ・ノーズ効果まとめ

フェンス + ドループ効果（基本形態（フェンス、ドループなし）に対して）	
形態	係数
STOL T/O (20°/30°) OEI模擬	同一の $\alpha$ で $C_L$ を比較すると $\Delta C_L = 0.1 \sim 0.15$ 程度増大している。  同一の $C_L$ で $C_D$ を比較すると $\Delta C_D = 0.03 \sim 0.05$ 程度減少している。
STOL L/D (40°/65°) AEO	同一の $\alpha$ で $C_L$ を比較すると $\Delta C_L = 0.1 \sim 0.2$ 程度増大している。  同一の $C_L$ で $C_D$ を比較すると、差が小さい部分でも $\Delta C_D = 0.03 \sim 0.05$ 減少している。
フェンス + ドループ効果（フェンス付きに対して）	
形態	係数
STOL T/O (20°/30°) OEI模擬	同一の $\alpha$ で $C_L$ を比較すると $\Delta C_L = 0.1 \sim 0.15$ 程度増大している。  同一の $C_L$ で $C_D$ を比較すると $\Delta C_D = 0.03 \sim 0.05$ 程度減少している。
STOL L/D (40°/65°) AEO	同一の $\alpha$ で $C_L$ を比較すると $\Delta C_L = 0.1 \sim 0.15$ 程度増大している。  同一の $C_L$ で $C_D$ を比較すると、差が小さい部分でも $\Delta C_D = 0.01 \sim 0.03$ 減少している。

---

## 航空宇宙技術研究所報告1129号

平成3年11月発行

発行所 航空宇宙技術研究所

東京都調布市深大寺東町7丁目44番地1

電話三鷹(0422)47-5911(大代表) 〒182

印刷所 株式会社 三興印刷

東京都新宿区西早稲田2-1-18

---

**Printed in Japan**

This document is provided by JAXA.